

## ارزیابی دقت روش‌های فشرده ترکیبی و آب‌فشرده مرتبه ششم در شبکه‌های C-D و LE: نمایش امواج گرانی - لختی و راسبی خطی

حکیم گلشاهی\* و امیر علوی

گروه فیزیک، دانشگاه آزاد اسلامی واحد شوشتر، شوشتر، ایران

(تاریخ دریافت: ۱۳۹۳/۲/۷، تاریخ پذیرش: ۱۳۹۳/۷/۲۲)

### چکیده

در مدل‌های جوی و اقیانوسی، انواع گوناگونی از شبکه‌های عددی به کار گرفته می‌شود. از جمله، شبکه آراکاو C که برای فواصل شبکه‌ای کوچک‌تر از شعاع دگرشکلی راسبی، رفتار بهتری دارد و نسبت به سایر شبکه‌ها متداول‌تر است؛ اما در فواصل شبکه‌ای بزرگ‌تر رفتار خوبی ندارد. این مسئله از میانگین‌گیری سرعت در محاسبه جمله‌های کوریولیس ناشی می‌شود. یکی از راهکارها استفاده از شبکه C-D است که شکل عمومی رابطه پاشندگی گسسته آن برای امواج گرانی - لختی معادل با شبکه LE است. در بیشتر این تحقیقات، از روش‌هایی با دقت مرتبه بالا استفاده نشده است. در این مقاله، پس از معرفی شکل عمومی روابط پاشندگی گسسته تک‌لایه‌ای و دولایه‌ای امواج گرانی - لختی و امواج راسبی در شبکه‌های C-D و LE، دقت روش‌های آب‌فشرده و فشرده ترکیبی مرتبه ششم در حکم دو روش مرتبه بالا، در محاسبه بسامد و سرعت گروه این امواج مورد ارزیابی قرار می‌گیرد و با نتایج مشابه در شبکه‌های آراکاو C و D و شبکه Z، مقایسه می‌شود. نتایج حاکی از آن است که برای مسئله امواج گرانی - لختی، در شبکه‌های C-D و LE (نیز همانند شبکه Z) روش فشرده ترکیبی مرتبه ششم نسبت به روش آب‌فشرده هم‌مرتبه، برتری دارد. این برتری در محاسبه بسامد امواج راسبی نیز مشاهده می‌شود ولی در محاسبه سرعت گروه این امواج، عملکرد روش آب‌فشرده کمی بهتر از روش فشرده ترکیبی است. به‌طور کلی، اگر چه شبکه C-D از ترکیب شبکه‌های آراکاو C و D تشکیل شده است ولی هم برای امواج گرانی - لختی و هم برای امواج راسبی، رفتار نامطلوب این شبکه‌ها در شبکه C-D مشاهده نمی‌شود. رفتار شبکه C-D در مسئله امواج گرانی - لختی نزدیک به شبکه Z است و حتی در روش فشرده ترکیبی مرتبه ششم، کمی بهتر از شبکه Z نیز هست.

واژه‌های کلیدی: فشرده ترکیبی، آب‌فشرده، معادلات آب کم عمق خطی شده، شبکه C-D، شبکه LE

### Accuracy assessment of sixth order combined compact and super compact methods on C-D and LE grids: Representation of linear inertia-gravity and Rossby waves

Hakim Golshahy\* and Amir Alavi

Department of Physics, Shoushtar Branch, Islamic Azad University, Shoushtar, Iran

(Received: 27 April 2014, accepted: 14 October 2014)

#### Summary

The oceanic and atmospheric models have been developed on different numerical grids. The Arakawa's C grid is well-known because of the advantages of the C-grid discretization at high resolutions. The C grid, however, is well suited for reproducing high frequency inertia-gravity waves in resolved cases, but there are difficulties in dealing with

\*Corresponding author:

h.golshahi@iau-shoushtar.ac.ir

\*نگارنده رابط:

the Coriolis terms and low-frequency processes. In particular, the C-grid approach is unfavorable in the under-resolved cases with grid-scale noise. Several fixes have been proposed for the C-grid problem. One such method is the C-D grid approach which improves spectral properties of the inertia-gravity waves at low resolutions. The C-D grid approach employs a combination of the C and D grids such that all terms are the same as in a conventional C-grid discretization except for the Coriolis terms where the D-grid velocities are used so that they require no interpolation. Another grid is the LE grid that comprises the same structure of Arakawa's E grid with a different grid space. Most of these studies apply the traditional second-order finite difference method to spatial differencing on the C-D grid, but the application to higher accurate finite difference methods is lacking.

Finite difference methods are commonly used to simulate the dynamical behavior of geophysical fluids. Numerical simulations of the complicated flows such as vortices, turbulent currents and instabilities need high accuracy methods as well as high resolutions. The compact finite difference methods are powerful ways to reach the objectives of high accuracy and low computational cost. The super compact and combined compact finite difference methods can be considered as promising methods for large scale computations in atmosphere-ocean dynamics with high accuracy.

In this study, we derived the general discrete dispersion relations of inertia-gravity and Rossby waves on the C-D and LE grids. The linearized single-layer and two-layer shallow-water models were used to describe these kinds of waves which play an important role in the setup of the ocean circulation. These relations were used to assess the performances of the sixth-order super compact finite difference (SCD6) and sixth-order combined compact finite difference (CCD6) schemes on the C-D and LE grids. The results on these grids were compared to Randall's Z grid and Arakawa's C and D grids. The general discrete dispersion relations of inertia-gravity waves on the C-D grid were similar to the LE grid at both single layer and two-layer models, but they were different for Rossby waves.

The results of the present work revealed that the CCD6 scheme exhibits a substantial improvement over the SCD6 scheme for the frequency and group velocity of inertia-gravity waves on the C-D and LE grids. In the same manner, for the frequency of Rossby waves, the performance of the CCD6 scheme is better than that of SCD6 scheme, but for the group velocity of Rossby waves, the SCD6 scheme is slightly more accurate than CCD6 scheme. In general, the C-D grid is, however, composed of Arakawa's C and D grids which are susceptible to grid scale noise but its behavior is favorable for both inertia-gravity and Rossby waves. In addition, for inertia-gravity waves, it could be observed that the accuracy of the SCD6 scheme on the C-D grid is similar to the Z grid and even the CCD6 scheme exhibits higher accuracy on the C-D grid.

**Keywords:** Super compact, combined compact, linearized shallow-water equations, C-D grid, LE grid

## ۱ مقدمه

و در فواصل شبکه‌ای گوناگون، دارای رفتارهای متفاوتی هستند (آراکوا و لمب، ۱۹۷۷؛ واجسوویچ، ۱۹۸۶؛ نتا و ویلیامز، ۱۹۸۹؛ رندال، ۱۹۹۴؛ دوکوویچ، ۱۹۹۵). این ویژگی می‌تواند در افزایش یا کاهش دقت و حجم محاسبات عددی تعیین‌کننده باشد. شبکه آراکوا C از

در مدل‌سازی‌های جوئی و اقیانوسی، انواع گوناگونی از شبکه‌های عددی برای گسسته‌سازی مکانی به کار گرفته می‌شوند (کانتا و کلیسون، ۲۰۰۰؛ هایدو و گل، ۱۹۹۹). این شبکه‌ها در نوع و موقعیت قرار گرفتن متغیرها متفاوت‌اند

جدول ۱. طرحواره‌های  $S_0, S_{\frac{1}{2}}, S_1, S_2$  و برای روش‌های IS6, SCD6 و CCD6.

$S_0$	$\frac{3}{10}f_{j-\frac{1}{2}} + f_{j+\frac{1}{2}} + \frac{3}{10}f_{j+\frac{3}{2}} = \frac{3}{4}(f_{j+1} + f_j) + \frac{1}{20}(f_{j+2} + f_{j-1})$	IS6
$S_{\frac{1}{2}}$	$(f'_{j+\frac{5}{2}} + f'_{j-\frac{3}{2}}) + 236(f'_{j+\frac{3}{2}} + f'_{j-\frac{1}{2}}) + 1446f'_{j+\frac{1}{2}} = \frac{320}{2d}[(f_{j+2} - f_{j-1}) + 9(f_{j+1} - f_j)]$	SCD6
$S_1$	$(f'_{j+2} + f'_{j-2}) + 26(f'_{j+1} + f'_{j-1}) + 66f'_j = \frac{10}{2d}[(f_{j+2} - f_{j-2}) + 10(f_{j+1} - f_{j-1})]$	
$S_2$	$(f''_{j+2} + f''_{j-2}) + 56(f''_{j+1} + f''_{j-1}) + 246f''_j = \frac{30}{d^2}[(f_{j+2} + f_{j-2}) + 8(f_{j+1} + f_{j-1}) - 18f_j]$	
$S_{\frac{1}{2}}$	$f'_{j+\frac{1}{2}} - \frac{7}{254}(f'_{j+\frac{3}{2}} + f'_{j-\frac{1}{2}}) = \frac{120}{127d}(f_{j+1} - f_j) - \frac{17d}{254}(f''_{j+1} - f''_j)$	CCD6
$S_1$	$\begin{cases} \frac{7}{16}(f'_{j+1} + f'_{j-1}) + f'_j - \frac{d}{16}(f''_{j+1} - f''_{j-1}) = \frac{15}{16d}(f_{j+1} - f_{j-1}) \\ \frac{9}{8d}(f'_{j+1} - f'_{j-1}) + f''_j - \frac{1}{8}(f''_{j+1} + f''_{j-1}) = \frac{3}{d^2}(f_{j+1} - 2f_j + f_{j-1}) \end{cases}$	
$S_2$		

رفتاری شبیه به شبکه D دارد و قابلیت‌های مطلوب شبکه Z (رندال، ۱۹۹۴) را ندارد. ادکرافت و همکاران (۱۹۹۹)، شبکه‌های C و D را به شیوه دیگری ترکیب کرده‌اند، به گونه‌ای که جمله‌های کوریولیس بدون میانگین‌گیری محاسبه می‌شوند. از دیگر تحقیقات صورت گرفته در این زمینه می‌توان به نچائف و یارمچوک (۲۰۰۴) و دوبریشیک (۲۰۰۶) اشاره کرد. بیشتر این تحقیقات، به روش‌های عددی مرتبه پایین پرداخته‌اند. از جمله، لیو (۲۰۰۵) که عملکرد روش‌های مرتبه دوم مرکزی و فشرده مرتبه چهارم را در شبکه‌ای با عنوان LE مورد ارزیابی قرار داده است. این شبکه در واقع همان شبکه آراکاوا E با فاصله شبکه‌ای متفاوت است. بررسی‌هایی نیز در ارزیابی روش‌های مرتبه بالا صورت گرفته است که از جمله می‌توان به بلايو (۲۰۰۰)، اصفهانیان و همکاران (۲۰۰۵)، محب‌الحجه و دریچل (۲۰۰۷)، اصفهانیان و قادر (۱۳۸۶)، قادر و همکاران (۲۰۰۹) و قادر و همکاران (۲۰۱۲) اشاره کرد.

در پژوهش حاضر، در ادامه تحقیقات قادر و همکاران

جمله این شبکه‌ها است که برای فواصل شبکه‌ای کوچک‌تر از شعاع دگرشکلی راسبی، رفتار بهتری دارد و نسبت به سایر شبکه‌ها متداول‌تر است. با این حال این شبکه هنگامی که فاصله شبکه‌ای در مقایسه با شعاع دگرشکلی راسبی بزرگ‌تر است، رفتار خوبی ندارد. این مسئله از میانگین‌گیری سرعت در محاسبه جمله‌های کوریولیس ناشی می‌شود. برای شعاع دگرشکلی راسبی کوچک‌تر، در مسائلی از قبیل امواج گرانی - لختی و امواج راسبی که دقت شبیه‌سازی به دقت محاسبه جمله‌های لختی حساس است، استفاده از شبکه C با خطای زیادی همراه است. محققان راهکارهای گوناگونی برای کاهش خطای شبکه C در محاسبه جمله‌های کوریولیس عرضه کرده‌اند. اسمیت و همکاران (۱۹۹۵) تضعیف میدان سرعت را به کار برده‌اند که یکی از اشکالات این روش، حذف شدن بخش مهمی از جواب‌های صحیح است. یکی دیگر از راهکارها، استفاده از ترکیب شبکه‌های C و D است. لین و رود (۱۹۹۷) از ترکیب شبکه‌های C و D به شیوه‌ای استفاده کرده‌اند که طبق بررسی اسکاماروک (۲۰۰۸)،

جدول ۲. تابع‌های انتقال  $T_0$ ،  $T_{\frac{1}{2}}$ ،  $T_1$  و  $T_2$  برای طرحواره‌های IS6، CCD6 و SCD6.

$T_0(k) = \frac{15 \cos kd/2 + \cos 3kd/2}{10 + 6 \cos kd}$	IS6
$\begin{cases} T_{\frac{1}{2}}(k) = \frac{i}{d} \frac{9(721 + 488 \cos kd - 9 \cos^2 kd) \sin kd/2}{2921 + 2379 \cos kd + 114 \cos^2 kd - 14 \cos^3 kd} \\ T_1(k) = \frac{i}{d} \frac{9(4 + \cos kd) \sin kd}{23 + 20 \cos kd + 2 \cos^2 kd} \\ T_2(k) = \frac{1}{d^2} \frac{-57 + 24 \cos kd + 33 \cos^2 kd}{23 + 20 \cos kd + 2 \cos^2 kd} \end{cases}$	CCD6
$\begin{cases} T_{\frac{1}{2}}(k) = \frac{i}{d} \frac{1440 \sin kd/2 + 160 \sin 3kd/2}{723 + 236 \cos kd + \cos 2kd} \\ T_1(k) = \frac{i}{d} \frac{100 \sin kd + 10 \sin 2kd}{66 + 52 \cos kd + 2 \cos 2kd} \\ T_2(k) = \frac{1}{d^2} \frac{-270 + 240 \cos kd + 30 \cos 2kd}{123 + 56 \cos kd + \cos 2kd} \end{cases}$	SCD6

عددی با دقت زیاد استفاده کرد. روش‌های فشرده از جمله روش‌های تفاضل متناهی با دقت زیاد هستند که با توجه به توانایی تفکیک بالای آنها، در شبیه‌سازی جریان‌هایی با ماهیت پیچیده به کار گرفته می‌شوند (پارک و همکاران، ۲۰۰۴؛ ریزتا و همکاران، ۲۰۰۸). در روش‌های تفاضل متناهی فشرده مقارن استاندارد، مثل روش پاده (هیرش، ۱۹۷۵؛ لیل، ۱۹۹۲) و روش آبرفشرده مرتبه ششم (ما و فو، ۱۹۹۶؛ ۲۰۰۱؛ اصفهانیان و همکاران، ۲۰۰۵) تقریب مشتق‌های اول و دوم به‌طور مجزا صورت می‌گیرد. درحالی‌که در روش فشرده ترکیبی مرتبه ششم (چو و فن، ۱۹۹۸، ۲۰۰۰؛ قادر و اصفهانیان، ۲۰۰۶) مشتق‌های اول و دوم به‌طور هم‌زمان تقریب زده می‌شوند. در این پژوهش، علاوه بر طرحواره‌های SCD6 و CCD6، از یک طرحواره درونی‌یابی مرتبه ششم (IS6) نیز استفاده شده است. فرمول‌بندی این طرحواره‌ها، در جدول ۱ داده شده است که در آن  $S_0$ ،  $S_{\frac{1}{2}}$ ،  $S_1$  و  $S_2$  به ترتیب معرف طرحواره‌های درونی‌یابی، محاسبه مشتق اول در نقاط میانی و محاسبه مشتق‌های اول و دوم در نقاط گره از شبکه‌ای با فاصله

(۱۳۸۹) و گلشاهی و همکاران (۲۰۱۱)، دقت روش‌های مرتبه بالای آبرفشرده مرتبه ششم (SCD6) و فشرده ترکیبی مرتبه ششم (CCD6) در شبکه‌های C-D (ادکرافت و همکاران، ۱۹۹۹) و LE (لیو، ۲۰۰۵) مورد ارزیابی قرار می‌گیرد. بدین منظور، با استفاده از معادلات آب کم عمق خطی شده، شکل عمومی روابط پاشندگی گسسته امواج گرانی-لختی و امواج راسبی برای محیط‌های تک‌لایه و دولایه در شبکه‌های C-D و LE استخراج و با استفاده از این شکل عمومی، دقت این دو روش عددی ارزیابی می‌شود. سپس نتایج به‌دست آمده با نتایج مشابه در شبکه‌های آراکاو C و D و شبکه Z، مورد مقایسه قرار می‌گیرد.

۲ روش‌های آبرفشرده و فشرده ترکیبی مرتبه ششم روش‌های تفاضل متناهی از جمله روش‌های متداول در حل معادلات دیفرانسیل حاکم بر رفتار شارها محسوب می‌شوند. در شبیه‌سازی جریان‌های پیچیده مانند جریان‌های آشفته و ناپایداری‌ها بایستی از روش‌های

جدول ۳. تابع‌های انتقال  $R_0$ ،  $R_{\frac{1}{2}}$  و  $R_1$  برای طرحواره‌های IS6، CCD6 و SCD6.

$R_0(k) = \frac{id}{2} \frac{15 \sin kd/2 + 3 \sin 3kd/2}{10 + 6 \cos kd}$	IS6
$\begin{cases} R_{\frac{1}{2}}(k) = \frac{3(2008 - 101 \cos kd - 107 \cos^2 kd) \cos kd/2}{2921 + 2379 \cos kd + 114 \cos^2 kd - 14 \cos^3 kd} \\ R_1(k) = \frac{-24 + 60 \cos kd + 9 \cos^2 kd}{23 + 20 \cos kd + 2 \cos^2 kd} \end{cases}$	CCD6
$\begin{cases} R_{\frac{1}{2}}(k) = \frac{720 \cos kd/2 + 240 \cos 3kd/2}{723 + 236 \cos kd + \cos 2kd} \\ R_1(k) = \frac{100 \cos kd + 20 \cos 2kd}{66 + 52 \cos kd + 2 \cos 2kd} \end{cases}$	SCD6

به صورت دولا یه در نظر گرفت (کاسترو و همکاران، ۲۰۰۷). در محیط دولا یه نیز می‌توان از معادلات آب کم عمق استفاده کرد، به گونه‌ای که چگالی آب در هر لایه مقداری ثابت ولی متفاوت باشد. شکل خطی شده این معادلات برحسب مؤلفه‌های افقی سرعت و ضخامت لایه به صورت زیر است (قادر و همکاران، ۱۳۸۹):

$$\begin{cases} \partial_t u_1 - f v_1 + g \partial_x (h_1 + h_2) = 0 \\ \partial_t v_1 + f u_1 + g \partial_y (h_1 + h_2) = 0, \\ \partial_t h_1 + H_1 (\partial_x u_1 + \partial_y v_1) = 0 \end{cases} \quad (2)$$

$$\begin{cases} \partial_t u_2 - f v_2 + g \partial_x (h_1 + h_2) - g' \partial_x h_1 = 0 \\ \partial_t v_2 + f u_2 + g \partial_y (h_1 + h_2) - g' \partial_y h_1 = 0, \\ \partial_t h_2 + H_2 (\partial_x u_2 + \partial_y v_2) = 0 \end{cases}$$

که اندیس‌های ۱ و ۲ به ترتیب معرف لایه اول در بالا و لایه دوم در پایین و  $g' = (1 - \rho_1 / \rho_2)g$  گرانی کاهیده است؛ به گونه‌ای که  $\rho_2$  و  $\rho_1$  مقادیر چگالی آب در این دولا یه هستند.

#### ۴ نمایش امواج گرانی-لختی

۴-۱ رابطه پاشندگی تک‌لایه‌ای امواج گرانی-لختی با در نظر گرفتن جواب موجی شکل  $e^{i(kx+ly-\omega t)}$  برای دستگاه معادلات (۱) به‌ازای مقدار ثابت  $f_0 = f$ ، رابطه

شبکه‌ای  $d$  است. تابع‌های انتقال  $T(k)$  و  $R(k)$  که در روابط پاشندگی گسسته امواج گرانی-لختی و امواج راسبی به کار می‌روند، به ترتیب در جدول‌های ۲ و ۳ برای هریک از این طرحواره‌ها داده شده‌اند.

#### ۳ معادلات آب کم عمق خطی شده

مدل آب کم عمق، برای توصیف لایه‌ای نازک از یک شاره با چگالی ثابت به کار می‌رود؛ به گونه‌ای که مؤلفه‌های افقی سرعت در راستای قائم تغییر نمی‌کنند و تقریب آب‌ایستایی (هیدروستاتیک) در نظر گرفته می‌شود. معادلات آب کم عمق تک‌لایه خطی شده برحسب مؤلفه‌های افقی سرعت  $(u, v)$  و ضخامت لایه  $(h)$  به شکل زیر است (گیل، ۱۹۸۲):

$$\begin{cases} \partial_t u - f v + g \partial_x h = 0 \\ \partial_t v + f u + g \partial_y h = 0, \\ \partial_t h + H (\partial_x u + \partial_y v) = 0 \end{cases} \quad (1)$$

که  $f$  پارامتر کوریولیس،  $H$  ضخامت میانگین،  $g$  شتاب گرانی و زیرنویس‌های  $x$  و  $y$  نشان‌دهنده مشتق نسبت به مختصه‌های  $x$  و  $y$  هستند.

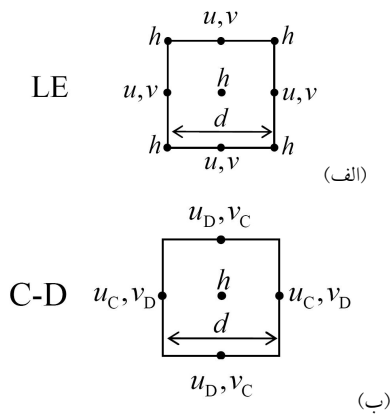
در برخی از نواحی اقیانوسی از جمله تنگه جبل الطارق و تنگه هرمز، می‌توان چینه‌بندی آب را با تقریب خوبی

جدول ۴. خطای کلی روش‌های SCD6 و CCD6 برای بسامد امواج گرانی-لختی تک‌لایه‌ای به‌ازای  $f_0 \Delta t = 0.05$  (برحسب درصد).

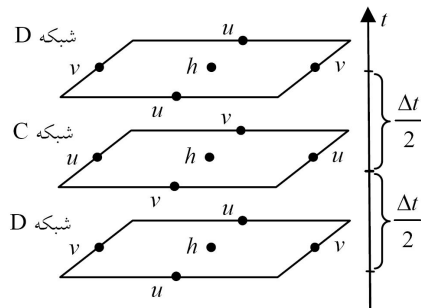
	$\lambda_{bt}/d = 0.5$				$\lambda_{bt}/d = 2$			
	SCD6	CCD6	$P_S$	$P_C$	SCD6	CCD6	$P_S$	$P_C$
<b>C</b>	<b>9.532</b>	<b>6.188</b>	-	<b>35</b>	<b>4.416</b>	<b>0.543</b>	-	<b>88</b>
<b>D</b>	<b>24.730</b>	<b>23.924</b>	-	<b>3</b>	<b>24.109</b>	<b>22.999</b>	-	<b>5</b>
<b>Z</b>	<b>2.459</b>	<b>1.165</b>	-	<b>53</b>	<b>3.410</b>	<b>1.932</b>	-	<b>43</b>
<b>C-D, LE</b>	<b>2.750</b>	<b>0.421</b>	-	<b>85</b>	<b>3.843</b>	<b>0.761</b>	-	<b>80</b>

$$\begin{cases} \partial_t u - f_0 \bar{v}^t + g \partial_x h = 0 \\ \partial_t v + f_0 \bar{u}^t + g \partial_y h = 0 \\ \partial_t h + H(\partial_x u + \partial_y v) = 0 \end{cases}, \quad (4)$$

که  $\bar{u}^t$  و  $\bar{v}^t$  به‌ترتیب، معرف درونیابی زمانی از  $u$  و  $v$  است.



شکل ۱. شبکه‌های LE و C-D به‌ازای فاصله شبکه‌ای  $d$



شکل ۲. ترتیب متوالی شبکه‌ها در زمان، برای شبکه C-D به‌ازای

گام زمانی  $\Delta t$ .

باشندگی پیوسته تک‌لایه‌ای امواج گرانی-لختی به‌دست می‌آید:

$$(\omega/f_0)^2 = 1 + \lambda_{bt}^2 (k^2 + l^2), \quad (3)$$

که  $\omega$  بسامد امواج،  $\lambda_{bt} = gH/f_0$  شعاع دگرشکلی فشارورد و  $k$  و  $l$  به‌ترتیب اعداد موج در راستاهای  $x$  و  $y$  هستند.

با استفاده از شیوه عرضه شده بلايو (۲۰۰۰) می‌توان شکل عمومی رابطه باشندگی گسسته امواج گرانی-لختی را برحسب تابع‌های انتقال در شبکه‌های LE و C-D به‌دست آورد. شکل ۱، موقعیت متغیرها در این شبکه‌ها را نشان می‌دهد. در شبکه C-D (ادکرافت و همکاران، ۱۹۹۹) هنگام انتگرال‌گیری در زمان، از شبکه‌های آراکاو و C و D به‌صورت متوالی استفاده می‌شود. شکل ۲، نحوه استفاده از این شبکه در زمان را نشان می‌دهد به‌گونه‌ای که مؤلفه‌های سرعت در جمله‌های کوریولیس با درونیابی زمانی از مؤلفه‌های سرعت در شبکه دیگر به‌دست می‌آیند. لذا برای مقایسه نتایج روش‌های به‌کار گرفته شده در شبکه‌های LE و C-D لازم است که علاوه بر گسسته‌سازی مکانی معادلات، گسسته‌سازی زمانی نیز صورت گیرد. به‌این‌ترتیب، دستگاه معادلات (۱) در شبکه LE به شکل زیر در می‌آید:

جدول ۵. مشابه جدول ۴ ولی برای سرعت گروه امواج گرانی-لختی تک‌لایه‌ای.

	$\lambda_{bt}/d = 0.5$				$\lambda_{bt}/d = 2$			
	SCD6	CCD6	$P_S$	$P_C$	SCD6	CCD6	$P_S$	$P_C$
C	38.189	39.048	2	-	27.256	13.164	-	52
D	173.199	177.711	3	-	111.393	116.910	5	-
Z	25.126	14.299	-	43	24.375	14.311	-	41
C-D, LE	26.345	13.058	-	50	25.523	13.009	-	49

$$-\frac{1}{f_0^2} T_{\frac{1}{2}}^2(\omega) = T_0^2(\omega) - \lambda_{bt}^2 (T_{\frac{1}{2}}^2(k) + T_{\frac{1}{2}}^2(l)) \quad (6)$$

این رابطه که برای شبکه E همانند شبکه LE ولی با فاصله شبکه‌ای متفاوت است در گام‌های زمانی کوچک ( $\Delta t \rightarrow 0$ )، به شکل زیر در می‌آید:

$$(\omega/f_0)^2 = 1 - \lambda_{bt}^2 (T_{\frac{1}{2}}^2(k) + T_{\frac{1}{2}}^2(l)) \quad (7)$$

به گونه‌ای که گویی مشتق زمانی به صورت پیوسته در نظر گرفته شده و درون‌یابی زمانی عملی نشده است.

با توجه به گسسته‌سازی زمانی صورت گرفته، برآورد بسامد امواج گرانی-لختی به مقدار عبارت  $f_0 \Delta t$  بستگی دارد و شرط  $(\lambda_{bt}/d)(f_0 \Delta t) \leq N$  باید برقرار باشد که در آن  $N$  یک عدد بحرانی است و به‌ازای  $\sin^2(\omega \Delta t/2) = 1$  تعیین می‌شود. این عدد بحرانی برای روش‌های CCD6 و SCD6 در شبکه‌های LE و C-D حدود  $N = 0.6$  است. در این تحقیق، برای پارامتر کوریولیس، مقدار نوعی  $f_0 = 10^{-4} s^{-1}$  در نظر گرفته شده است.

به‌طور مشابه، دستگاه معادلات (۱) برای گسسته‌سازی در شبکه C-D، به شکل زیر نوشته می‌شوند:

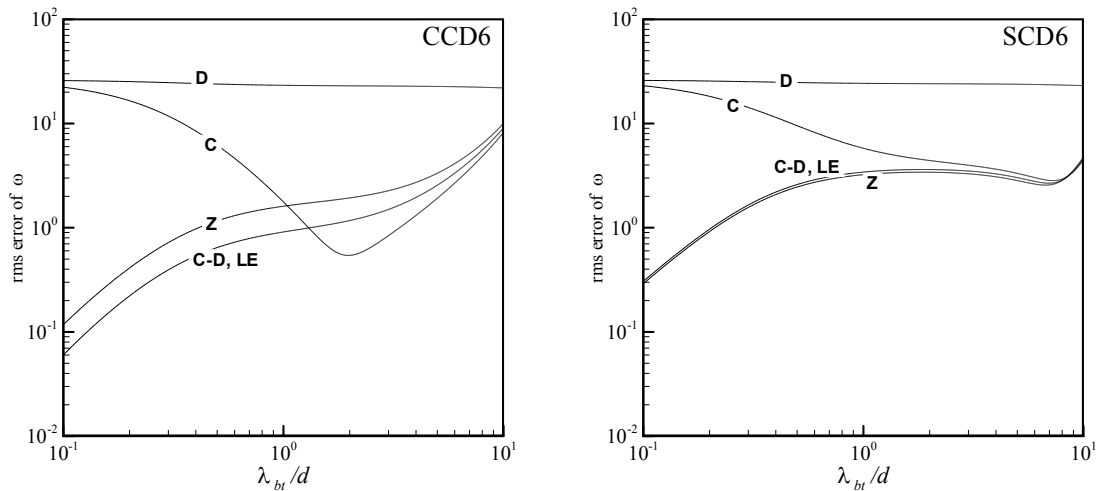
$$\begin{cases} \partial_t u_C - f_0 \bar{v}_D + g \partial_x h = 0 \\ \partial_t v_C + f_0 \bar{u}_D + g \partial_y h = 0 \\ \partial_t h + H(\partial_x u_C + \partial_y v_C) = 0 \\ \partial_t u_D - f_0 \bar{v}_C + g \partial_x \bar{h}^{xy} = 0 \\ \partial_t v_D + f_0 \bar{u}_C + g \partial_y \bar{h}^{xy} = 0 \end{cases} \quad (8)$$

با در نظر گرفتن جواب موجی شکل  $e^{i(kx+ly-\omega t)}$ ، معادلات فوق به شکل زیر در می‌آید:

$$\begin{cases} T_{\frac{1}{2}}(\omega) U_0 - f_0 T_0(\omega) V_0 + g H_0 T_{\frac{1}{2}}(k) = 0 \\ T_{\frac{1}{2}}(\omega) V_0 + f_0 T_0(\omega) U_0 + g H_0 T_{\frac{1}{2}}(l) = 0 \\ T_{\frac{1}{2}}(\omega) H_0 + H(U_0 T_{\frac{1}{2}}(k) + V_0 T_{\frac{1}{2}}(l)) = 0 \end{cases} \quad (5)$$

که  $U_0, V_0, H_0$  به ترتیب دامنه‌های جواب موجی شکل برای  $u, v, h$  هستند و تابع انتقال  $T(k)$  برای طرحواره دلخواه  $S$  به صورت  $S(e^{ikx}) = T(k)e^{ikx}$  در راستای  $x$  تعریف می‌شود. به‌طور مشابه تابع انتقال  $T(\omega)$  نیز به صورت  $S(e^{-i\omega t}) = T(\omega)e^{-i\omega t}$  تعریف شده است. همانند بررسی ادکرافت و همکاران (۱۹۹۹)، مشتق‌گیری و درون‌یابی زمانی از روش مرتبه دوم مرکزی، به صورت  $\partial_t f = (f(t + \Delta t/2) - f(t - \Delta t/2))/\Delta t$  و  $\bar{f}^t = (f(t + \Delta t/2) + f(t - \Delta t/2))/2$  استفاده شده است که در آن،  $\Delta t$  مقدار گام زمانی است. بنابراین، تابع‌های انتقال مربوط به روش مرتبه دوم مرکزی  $T_{\frac{1}{2}}(\omega) = -i \frac{2}{\Delta t} \sin(\frac{\omega \Delta t}{2})$  و  $T_0(\omega) = \cos(\frac{\omega \Delta t}{2})$  هستند.

با صفر قرار دادن دترمینان ماتریس ضرایب برای دستگاه معادلات فوق، رابطه پاشندگی گسسته تک‌لایه‌ای امواج گرانی-لختی در شبکه LE به دست می‌آید:



شکل ۳. منحنی خطای کلی روش‌های CCD6 و SCD6 برای بسامد امواج گرانی-لختی تک‌لایه‌ای در شبکه‌های گوناگون به‌ازای  $f_0 \Delta t = 0.05$  (برحسب درصد).

شبکه C-D به‌دست می‌آید. این رابطه دقیقاً با رابطه (۶) مربوط به شبکه LE برابر است. بنابراین، نتایج ارزیابی دقت روش‌های عددی که در شبکه LE برای مسئله امواج گرانی-لختی تک‌لایه صورت می‌گیرد، در شبکه C-D نیز صادق است.

برای بررسی عملکرد روش‌های SCD6 و CCD6 در گسسته‌سازی مکانی معادلات آب کم‌عمق تک‌لایه، خطای نسبی محاسبه بسامد و سرعت گروه امواج گرانی-لختی تک‌لایه‌ای در شبکه‌های C-D و LE اندازه‌گیری شد. سپس خطای کلی  $E_{rms}$  به‌صورت ریشه میانگین مجذور مربعات خطای نسبی تعیین شد. همچنین درصد بهبود روش CCD6 نسبت به روش SCD6 به‌صورت  $P_C = (1 - E_C / E_S) \times 100$  محاسبه شد که در آن،  $E_C$  و  $E_S$  به‌ترتیب خطای کلی روش‌های CCD6 و SCD6 است. به‌شبه مشابه، درصد بهبود روش SCD6 نسبت به CCD6 با رابطه  $P_S = (1 - E_S / E_C) \times 100$  تعیین می‌شود. با توجه به حساسیت شبکه‌ها به  $\lambda_{bt}/d$  اندازه‌گیری خطاها برای گستره  $0.1 < \lambda_{bt}/d < 10$  صورت گرفته است. باید توجه داشت که در این پژوهش، مشابه تحقیق گلشاهی و همکاران (۲۰۱۱) خطاها در ناحیه

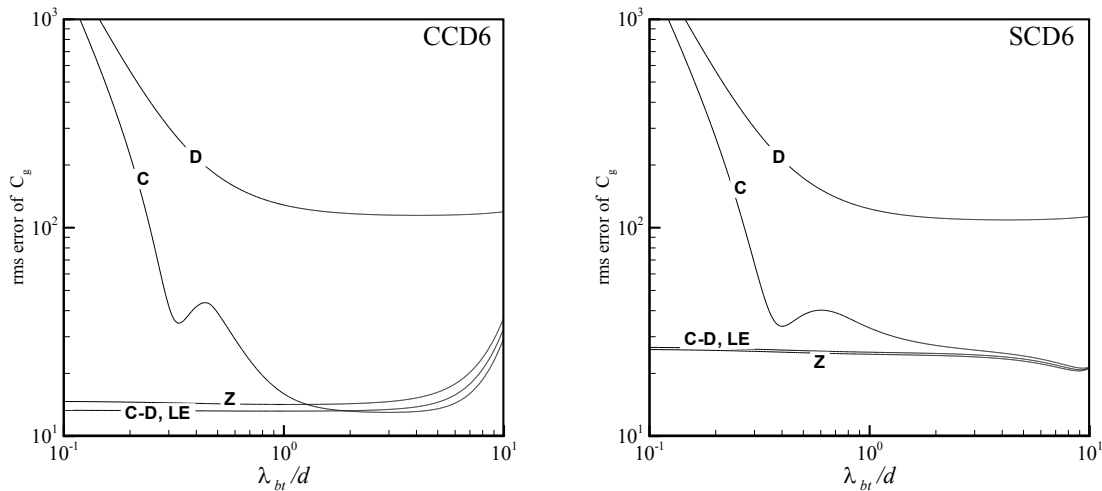
که زیرنویس‌های C و D معرف شبکه‌های آراکاو و C و D و  $\bar{h}^{xy}$  معرف میانگین‌گیری از  $h$  در دو راستای  $x$  و  $y$  است. این میانگین‌گیری در شبکه آراکاو D، فقط در یک راستا صورت می‌گیرد. بنابراین، یکی از تفاوت‌های گسسته‌سازی در شبکه C-D نسبت به شبکه D، نحوه میانگین‌گیری از  $h$  است.

پس از گسسته‌سازی، دستگاه معادلات فوق برای شبکه C-D به‌صورت زیر در می‌آید:

$$\begin{cases} T_{\frac{1}{2}}(\omega) U_{oC} - f_0 T_0(\omega) V_{oD} + g H_0 T_{\frac{1}{2}}(k) = 0 \\ T_{\frac{1}{2}}(\omega) V_{oC} + f_0 T_0(\omega) U_{oD} + g H_0 T_{\frac{1}{2}}(l) = 0 \\ T_{\frac{1}{2}}(\omega) H_0 + H(U_{oC} T_{\frac{1}{2}}(k) + V_{oC} T_{\frac{1}{2}}(l)) = 0 \\ T_{\frac{1}{2}}(\omega) U_{oD} - f_0 T_0(\omega) V_{oC} + g H_0 T_{\frac{1}{2}}(k) T_0(k) T_0(l) = 0 \\ T_{\frac{1}{2}}(\omega) V_{oD} + f_0 T_0(\omega) U_{oC} + g H_0 T_{\frac{1}{2}}(l) T_0(l) T_0(k) = 0 \end{cases}, \quad (9)$$

که  $T_0$  تابع انتقال مربوط به طرحواره  $S_0$  (طرحواره درون‌یابی در نقاط میانی) است. با صفر قرار دادن دترمینان ماتریس ضرایب برای دستگاه معادلات فوق، رابطه پاشندگی گسسته تک‌لایه‌ای امواج گرانی-لختی در



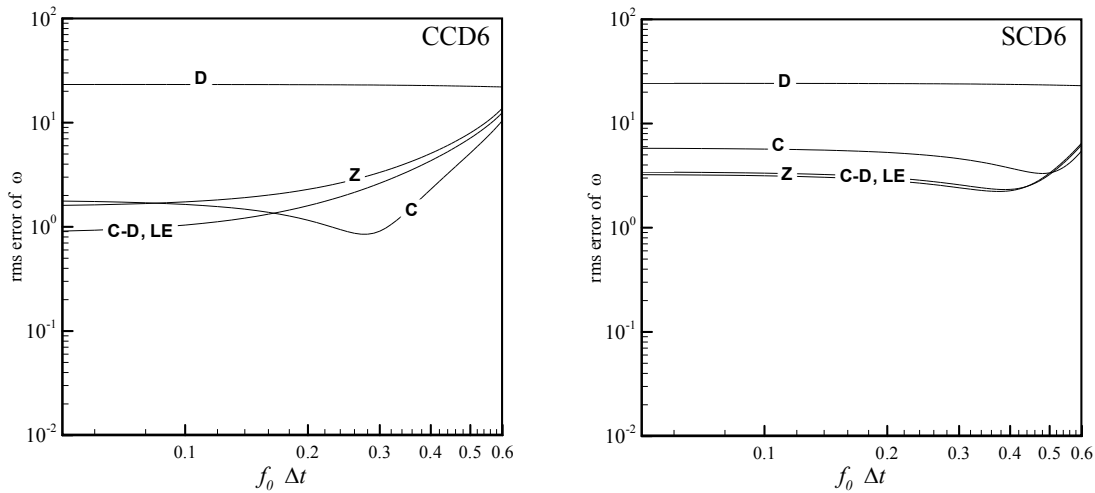


شکل ۴. مشابه شکل ۳ ولی برای سرعت گروه امواج گرانی-لختی تک‌لایه‌ای.

شبکه بیشتر از شبکه‌های C-D، LE و Z است. شکل‌های ۳ و ۴، خطاهای کلی روش‌های CCD6 و SCD6 را در شبکه‌های C-D و LE به همراه شبکه‌های آراکاو C و D و شبکه Z برای  $\lambda_{bt}/d$  های متفاوت به‌ازای  $f \Delta t = 0.05$  نشان می‌دهند. نتایج روشن می‌سازد که هم در محاسبه بسامد و هم در محاسبه سرعت گروه امواج گرانی-لختی تک‌لایه، عملکرد روش CCD6 در شبکه‌های C-D و LE (همانند شبکه Z) بهتر از SCD6 است و نزدیکی زیادی بین نتایج شبکه‌های C-D و LE با نتایج شبکه Z وجود دارد. خطای کلی محاسبه بسامد این امواج، به‌جز در شبکه D، به مقدار  $\lambda_{bt}/d$  بستگی دارد به‌گونه‌ای که در  $\lambda_{bt}/d$  های کوچک با افزایش  $\lambda_{bt}/d$ ، این خطای کلی در شبکه C کاهش و در دیگر شبکه‌ها افزایش پیدا می‌کند. در  $\lambda_{bt}/d$  های بزرگ، این خطای کلی در شبکه C نیز همانند شبکه‌های C-D، LE و Z افزایش می‌یابد. در شبکه‌های C-D، LE و Z خطای کلی محاسبه سرعت گروه امواج گرانی-لختی، مستقل از مقدار  $\lambda_{bt}/d$  است به‌جز در  $\lambda_{bt}/d$  های بزرگ که این خطای کلی، روندی افزایشی پیدا می‌کند. شکل‌های ۵ و ۶، خطاهای کلی روش‌های CCD6 و

$0 < k_H d / \pi < 1$  ( $k_H^2 = k^2 + l^2$ ) اندازه‌گیری شده‌اند؛ درحالی‌که در تحقیق قادر و همکاران (۱۳۸۹) ناحیه مورد اندازه‌گیری ( $0 < kd / \pi < 1$  و  $0 < ld / \pi < 1$ ) متفاوت است.

جدول‌های ۴ و ۵ مقادیر خطای کلی محاسبه بسامد و سرعت گروه امواج گرانی-لختی تک‌لایه‌ای را در شبکه‌های عددی متفاوت برای دو مقدار  $\lambda_{bt}/d = 0.5$  و  $\lambda_{bt}/d = 2$  به‌ازای  $f \Delta t = 0.05$  نشان می‌دهند (نتایج شبکه‌های آراکاو C و D و شبکه Z برای مقایسه داده شده است). مطابق این جدول‌ها، روش CCD6 نسبت به روش SCD6 با خطای کمتری همراه است. به‌ویژه در شبکه C-D به‌ازای  $\lambda_{bt}/d = 0.5$  که عملکرد روش CCD6 حدود ۸۵ درصد بهتر از روش SCD6 است، درحالی‌که این بهبود در شبکه Z حدود ۵۰ درصد است. این امر بیانگر قابلیت زیاد روش CCD6 در شبکه‌های C-D، LE و Z برای مسئله امواج گرانی-لختی تک‌لایه است. اگر چه بیشترین دقت محاسبه بسامد امواج گرانی-لختی (و بیشترین بهبود روش CCD6 نسبت به SCD6 با حدود ۹۰ درصد بهبود) در شبکه C به‌ازای  $\lambda_{bt}/d = 2$  مشاهده می‌شود، اما به‌ازای  $\lambda_{bt}/d = 0.5$  خطا در این



شکل ۵. منحنی خطای کلی روش‌های CCD6 و SCD6 برای بسامد امواج گرانی-لختی تک‌لایه‌ای در شبکه‌های گوناگون به‌ازای  $\lambda_{bt}/d = 1$  (برحسب درصد).

باید توجه داشت که  $C_{g\text{exact}}$  مستقل از نوع شبکه است. در  $\lambda_{bt}/d$  های کوچک یعنی به‌ازای  $\lambda_{bt}/d \rightarrow 0$  این سرعت‌های گروه به‌صورت زیر در می‌آیند:

$$C_{g\text{exact}} \rightarrow \frac{f_0 \lambda_{bt}^2 (k^2 + l^2)^{1/2}}{1},$$

$$C_{g\text{Zgrid}} \rightarrow \frac{f_0 \frac{\lambda_{bt}^2}{2} \left( \left( \frac{\partial T_2(k)}{\partial k} \right)^2 + \left( \frac{\partial T_2(l)}{\partial l} \right)^2 \right)^{1/2}}{1},$$

$$C_{g\text{C-Dgrid}} \rightarrow \frac{f_0 \lambda_{bt}^2 \left( \left( T_{\frac{1}{2}}(k) \frac{\partial T_{\frac{1}{2}}(k)}{\partial k} \right)^2 + \left( T_{\frac{1}{2}}(l) \frac{\partial T_{\frac{1}{2}}(l)}{\partial l} \right)^2 \right)^{1/2}}{1}.$$

بنابراین، برخلاف خطای بسامد، خطای سرعت گروه به صفر میل نمی‌کند؛ به‌گونه‌ای که منحنی‌های خطای کلی محاسبه سرعت گروه این امواج در شبکه‌های C-D، LE و Z افقی است. این مسئله در شبکه‌های آراکاوا A، B و E (که جمله اول رابطه پاشندگی آنها یک است و در اینجا نشان داده نشده است) نیز به همین صورت است؛ درحالی‌که منحنی‌های شبکه‌های C و D، افقی نیستند. در

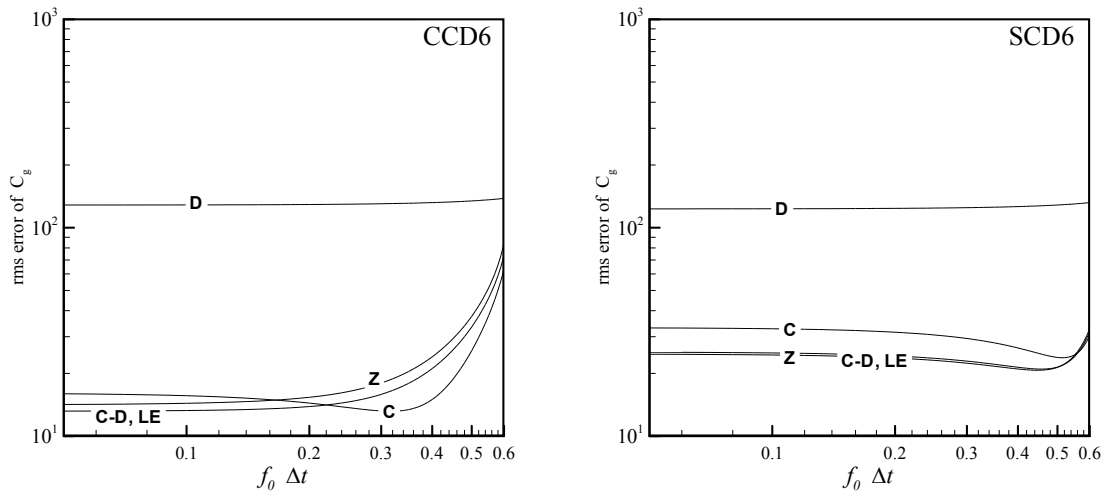
SCD6 در محاسبه بسامد و سرعت گروه امواج گرانی-لختی تک‌لایه‌ای را برای  $f_0 \Delta t$  های گوناگون به‌ازای  $\lambda_{bt}/d = 1$  نشان می‌دهند. نتایج بیانگر آن است که با افزایش گام زمانی، خطاهای کلی روش CCD6 روندی افزایشی دارند. این مسئله را می‌توان در روش SCD6 نیز به شکل ضعیف‌تری مشاهده کرد.

سرعت گروه امواج گرانی-لختی تک‌لایه‌ای برای شبکه Z ( $C_{g\text{Zgrid}}$ )، شبکه C-D ( $C_{g\text{C-Dgrid}}$ ) و عبارت دقیق آن ( $C_{g\text{exact}}$ ) در گام‌های زمانی کوچک ( $\Delta t \rightarrow 0$ )، به‌صورت زیر است:

$$C_{g\text{exact}} = \frac{f_0 \lambda_{bt}^2 (k^2 + l^2)^{1/2}}{(1 + \lambda_{bt}^2 (k^2 + l^2))^{1/2}},$$

$$C_{g\text{Zgrid}} = \frac{f_0 \frac{\lambda_{bt}^2}{2} \left( \left( \frac{\partial T_2(k)}{\partial k} \right)^2 + \left( \frac{\partial T_2(l)}{\partial l} \right)^2 \right)^{1/2}}{(1 - \lambda_{bt}^2 (T_2(k) + T_2(l)))^{1/2}},$$

$$C_{g\text{C-Dgrid}} = \frac{f_0 \lambda_{bt}^2 \left( \left( T_{\frac{1}{2}}(k) \frac{\partial T_{\frac{1}{2}}(k)}{\partial k} \right)^2 + \left( T_{\frac{1}{2}}(l) \frac{\partial T_{\frac{1}{2}}(l)}{\partial l} \right)^2 \right)^{1/2}}{(1 - \lambda_{bt}^2 (T_{\frac{1}{2}}^2(k) + T_{\frac{1}{2}}^2(l)))^{1/2}}.$$



شکل ۶. مشابه شکل ۵ ولی برای سرعت گروه امواج گرانی-لختی تک‌لایه‌ای.

شکل گسسته این رابطه پاشندگی در محیط دولایه برای شبکه LE مشابه شبکه E است و همان‌گونه که در محیط تک‌لایه نیز اشاره شد، تنها تفاوت در فاصله شبکه‌ای است:

$$-\frac{T_{\frac{1}{2}}^2(\omega)}{f_o^2} = T_o^2(\omega) - \mu_{\pm} \lambda_{bt}^2 \left( T_{\frac{1}{2}}^2(k) + T_{\frac{1}{2}}^2(l) \right). \quad (13)$$

معادلات آب کم‌عمق دولایه‌ای خطی شده برای گسسته‌سازی در شبکه C-D، به شکل زیر نوشته می‌شود:

$$\begin{cases} \partial_t u_{C1} - f_o \overline{v_{D1}} + g \partial_x (h_1 + h_2) = 0 \\ \partial_t v_{C1} + f_o \overline{u_{D1}} + g \partial_y (h_1 + h_2) = 0 \\ \partial_t h_1 + H_1 (\partial_x u_{C1} + \partial_y v_{C1}) = 0 \\ \partial_t u_{D1} - f_o \overline{v_{C1}} + g \partial_x \overline{(h_1 + h_2)}^{xy} = 0 \\ \partial_t v_{D1} + f_o \overline{u_{C1}} + g \partial_y \overline{(h_1 + h_2)}^{xy} = 0 \end{cases}, \quad (14)$$

$$\begin{cases} \partial_t u_{C2} - f_o \overline{v_{D2}} + g \partial_x (h_1 + h_2) - g' \partial_x h_1 = 0 \\ \partial_t v_{C2} + f_o \overline{u_{D2}} + g \partial_y (h_1 + h_2) - g' \partial_y h_1 = 0 \\ \partial_t h_2 + H_2 (\partial_x u_{C2} + \partial_y v_{C2}) = 0 \\ \partial_t u_{D2} - f_o \overline{v_{C2}} + g \partial_x \overline{(h_1 + h_2)}^{xy} - g' \partial_x \overline{h_1}^{xy} = 0 \\ \partial_t v_{D2} + f_o \overline{u_{C2}} + g \partial_y \overline{(h_1 + h_2)}^{xy} - g' \partial_y \overline{h_1}^{xy} = 0 \end{cases}.$$

مخرج کسر روابط سرعت گروه  $C_{gDgrid}$  و  $C_{gCgrid}$  (به جای عدد یک) جمله  $T_o^2(k)T_o^2(l)$  ظاهر می‌شود. با توجه به اینکه  $T_o(k)$  و  $T_o(l) \leq 1$  هستند، با کوچک‌تر شدن مخرج کسر، خطای محاسبه سرعت گروه امواج گرانی-لختی در شبکه‌های C و D افزایش می‌یابد.

۲-۴ رابطه پاشندگی دولایه‌ای امواج گرانی-لختی به شیوه مشابه بخش قبل، می‌توان رابطه پاشندگی پیوسته دولایه‌ای امواج گرانی-لختی را نیز با در نظر گرفتن معادلات آب کم‌عمق دولایه‌ای خطی شده به‌دست آورد (گلشاهی و همکاران، ۲۰۱۱):

$$\begin{aligned} (\omega/f_o)^2 &= 1 + \mu_{\pm} \lambda_{bt}^2 (k^2 + l^2), \\ \mu_{\pm} &= \frac{1}{2} \left[ 1 \pm \sqrt{1 - 4\varepsilon^2} \right], \end{aligned} \quad (12)$$

که  $\varepsilon$  نسبت شعاع دگرشکلی کژفشار ( $\lambda_{bc}$ ) به شعاع دگرشکلی فشارورد ( $\lambda_{bt}$ ) است که به‌ازای  $\varepsilon = \sqrt{\alpha\gamma/(1+\gamma)^2}$  به‌صورت  $H_2 = \gamma H_1$  و  $g' = \alpha g$  در می‌آید، به‌گونه‌ای که  $H = H_1 + H_2$  است. در پژوهش حاضر،  $\gamma = 1$  و مقدار نوعی  $\alpha = 0.003$  (گیل، ۱۹۸۲) در نظر گرفته شده است.

جدول ۶. خطای کلی روش‌های SCD6 و CCD6 برای بسامد امواج گرانی-لختی دولایه‌ای در مد کژفشار به‌ازای  $f_0 \Delta t = 0.05$  (برحسب درصد).

	$\lambda_{bt}/d = 0.5$				$\lambda_{bt}/d = 2$			
	SCD6	CCD6	$P_S$	$P_C$	SCD6	CCD6	$P_S$	$P_C$
C	20.953	19.796	-	6	8.545	5.018	-	41
D	25.776	25.589	-	1	24.620	23.755	-	4
Z	0.540	0.233	-	57	2.660	1.270	-	52
C-D, LE	0.599	0.085	-	86	2.977	0.459	-	85

کژفشار نیز روش CCD6 عملکرد بهتری دارد. در شبکه‌های C-D و LE، هم در  $\lambda_{bt}/d = 0.5$  و هم در  $\lambda_{bt}/d = 2$  روش CCD6 نسبت به روش SCD6 برای محاسبه بسامد امواج گرانی-لختی دولایه‌ای با حدود ۸۵ درصد بهبود و برای محاسبه سرعت گروه با حدود ۵۰ درصد بهبود همراه است. درحالی‌که این بهبود در شبکه Z برای محاسبه بسامد، حدود ۵۰ درصد و برای محاسبه سرعت گروه، حدود ۴۰ درصد است.

شکل‌های ۷ و ۸، خطاهای کلی روش‌های SCD6 و CCD6 در محاسبه بسامد و سرعت گروه امواج گرانی-لختی دولایه‌ای را برای مُد کژفشار در شبکه‌های C-D، LE و Z و شبکه‌های آراکاوا C و D برحسب  $\lambda_{bt}/d$  های متفاوت به‌ازای  $f_0 \Delta t = 0.05$  نشان می‌دهند. نتایج حاکی از آن است که عملکرد روش CCD6 در مُد کژفشار نیز بهتر از SCD6 است. مشابه مدل تک‌لایه (که تقریباً معادل با مُد فشارورد دولایه است)، منحنی‌های خطای کلی مربوط به شبکه‌های LE، C-D و Z تقریباً بر هم منطبق هستند؛ به‌جز در روش CCD6 که رفتار شبکه‌های C-D و LE به مراتب بهتر از شبکه Z است. این موضوع که در منحنی‌های خطای محاسبه بسامد بارزتر است، نشان از عملکرد مطلوب روش CCD6 در شبکه‌های C-D و LE برای مسئله امواج گرانی-لختی دارد. به‌علاوه، می‌توان مشاهده کرد که خطای کلی محاسبه بسامد این

پس از گسسته‌سازی معادلات فوق و استفاده از تابع‌های انتقال، رابطه پاشندگی گسسته دولایه‌ای امواج گرانی-لختی در شبکه C-D نیز به‌دست می‌آید. این رابطه دقیقاً با رابطه (۱۳) مربوط به شبکه LE برابر است. بنابراین، چه برای محیط تک‌لایه و چه برای محیط دولایه، روابط پاشندگی گسسته امواج گرانی-لختی در شبکه LE با شبکه C-D برابر و نتایج به‌دست آمده در این دو شبکه یکسان است. به‌علاوه، در برآورد بسامد امواج گرانی-لختی دولایه، شرط  $(f_0 \Delta t) \sqrt{\mu_{\pm}} (\lambda_{bt}/d) \leq N$  نیز باید در نظر گرفته شود.

برای مقایسه نتایج روش‌های عددی SCD6 و CCD6، خطای کلی  $E_{rms}$  بسامد و سرعت گروه امواج گرانی-لختی دولایه در شبکه‌های LE و C-D محاسبه شد. طبق تحقیق گلشاهی و همکاران (۲۰۱۱)، دقت روش‌های CCD6 و SCD6 در شبکه Z نسبت به شبکه‌های آراکاوا بیشتر است؛ بنابراین، در اینجا، نتایج شبکه Z نیز به همراه نتایج شبکه‌های آراکاوا C و D، برای مقایسه با نتایج شبکه‌های C-D و LE داده شده است. جدول‌های ۶ و ۷، مقادیر این خطای کلی را در مُد کژفشار برای دو مقدار  $\lambda_{bt}/d = 0.5$  و  $\lambda_{bt}/d = 2$  به‌ازای  $f_0 \Delta t = 0.05$  نشان می‌دهند. نتایج مربوط به مُد فشارورد مشابه نتایج مدل تک‌لایه است و در اینجا از تکرار آن صرف‌نظر شده است. مطابق این جدول‌ها، در مدل دولایه برای مُد

جدول ۷. مشابه جدول ۶ ولی برای سرعت گروه امواج گرانی-لختی دولایه‌ای.

	$\lambda_{bt}/d = 0.5$				$\lambda_{bt}/d = 2$			
	SCD6	CCD6	$P_S$	$P_C$	SCD6	CCD6	$P_S$	$P_C$
C	673.711	613.964	-	9	40.059	31.553	-	21
D	1029.140	1029.529	-	-	157.189	161.963	3	-
Z	25.931	14.626	-	44	25.031	14.265	-	43
C-D, LE	27.243	13.125	-	52	26.238	13.051	-	50

شبکه C و  $T_1^2(k)T_0^2(l) + T_1^2(l)T_0^2(k)$  در شبکه D ناشی می‌شود. با توجه به کمتر بودن خطای نسبی  $T_{\frac{1}{2}}$  نسبت به  $T_1$  و  $T_0$  (گلشاهی و همکاران، ۲۰۱۱)، خطای کلی محاسبه بسامد امواج گرانی-لختی دولایه‌ای به‌ازای  $\lambda_{bt}/d$  های بزرگ، در شبکه C کاهش می‌یابد، ولی در شبکه D، همچنان بزرگ باقی می‌ماند. به‌این ترتیب، منحنی خطای کلی محاسبه بسامد در شبکه D تقریباً افقی است و خطای کلی در این شبکه تقریباً به مقدار  $\lambda_{bt}/d$  بستگی ندارد. رفتار شبکه C-D در مقایسه با شبکه‌های آراکاو C و D به‌گونه‌ای است که دقت بالای موجود در شبکه C به‌ازای  $\lambda_{bt}/d$  های بزرگ حفظ شده و در عین حال، افزایش خطا در  $\lambda_{bt}/d$  های کوچک نیز رفع شده است. این مسئله در شکل‌های ۳ و ۴ مربوط به مدل تک‌لایه نیز مشاهده می‌شود.

شکل‌های ۹ و ۱۰، خطاهای کلی محاسبه بسامد و سرعت گروه امواج گرانی-لختی دولایه‌ای را برای روش‌های SCD6 و CCD6 در مُد کُزفشار به‌ازای  $\lambda_{bt}/d = 1$  و  $f_0 \Delta t$  های مختلف نشان می‌دهند. خطای کلی محاسبه بسامد این امواج، با افزایش مقدار گام زمانی، افزایش می‌یابد. این روند افزایش خطای کلی در محاسبه سرعت گروه نیز برای روش CCD6 در شبکه‌های LE، C-D و Z وجود دارد.

امواج، در همه شبکه‌ها؛ به‌جز شبکه D به مقدار  $\lambda_{bt}/d$  بستگی دارد. درحالی‌که خطای کلی محاسبه سرعت گروه این امواج به‌جز در شبکه‌های C و D به مقدار  $\lambda_{bt}/d$  بستگی ندارد.

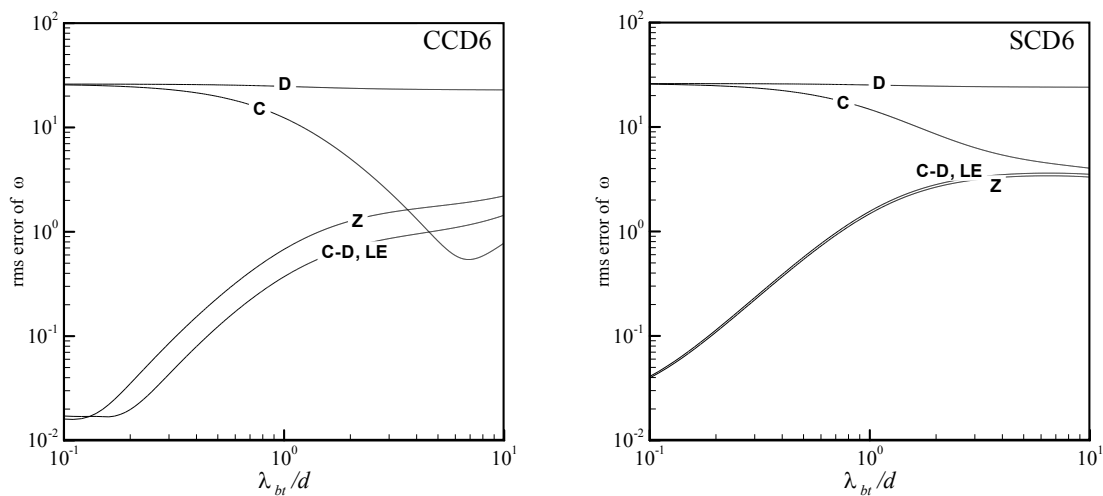
مطابق شکل‌های ۷ و ۸، منحنی‌های خطای کلی مربوط به شبکه‌های C و D در  $\lambda_{bt}/d$  های کوچک به هم نزدیک می‌شوند. در گام‌های زمانی کوچک ( $\Delta t \rightarrow 0$ )، طبق رابطه پاشندگی گسسته دولایه‌ای امواج گرانی-لختی

$$(\omega/f_0)^2 = T_0^2(k)T_0^2(l) - \mu_{\pm} \lambda_{bt}^2 (T_1^2(k)T_0^2(l) + T_1^2(l)T_0^2(k))$$

مربوط به شبکه آراکاو D (قادر و همکاران، ۱۳۸۹)، خطای نسبی در این شبکه به خطا در عبارت‌های  $T_1^2(k)T_0^2(l) + T_1^2(l)T_0^2(k)$  و  $T_0^2(k)T_0^2(l)$  بستگی دارد. در  $\lambda_{bt}/d$  های کوچک، اثر جمله دوم کم می‌شود، به‌گونه‌ای که در  $\lambda_{bt}/d \rightarrow 0$ ، می‌توان

$$(\omega/f_0)^2 = T_0^2(k)T_0^2(l) - \mu_{\pm} \lambda_{bt}^2 (T_{\frac{1}{2}}^2(k) + T_{\frac{1}{2}}^2(l))$$

را نتیجه گرفت. در مورد شبکه آراکاو C با رابطه پاشندگی گسسته دولایه‌ای نیز می‌توان این رفتار را مشاهده کرد به‌گونه‌ای که به‌ازای  $\lambda_{bt}/d \rightarrow 0$ ، مقادیر خطای کلی در شبکه‌های C و D به یکدیگر نزدیک می‌شوند. تفاوت بین منحنی‌های شبکه‌های C و D که در  $\lambda_{bt}/d$  های بزرگ بارز است، از اختلاف در جمله دوم (به‌صورت  $T_{\frac{1}{2}}^2(k) + T_{\frac{1}{2}}^2(l)$  در



شکل ۷. منحنی خطای کلی روش‌های CCD6 و SCD6 برای بسامد امواج گرانی-لختی دولایه‌ای در مُد کُزفشار به‌ازای  $f_0 \Delta t = 0.05$  (برحسب درصد).

$$\begin{cases} f_0 v_{g2} - g \partial_x (h_1 + h_2) + g' \partial_x h_1 = 0 \\ f_0 u_{g2} + g \partial_y (h_1 + h_2) - g' \partial_y h_1 = 0 \\ \partial_t u_{g2} - f_0 v_{a2} - \beta y v_{g2} = 0 \\ \partial_t v_{g2} + f_0 u_{a2} + \beta y u_{g2} = 0 \\ \partial_t h_2 + H_2 (\partial_x u_{a2} + \partial_y v_{a2}) = 0 \end{cases}$$

۱-۵ رابطه پاشندگی تک‌لایه‌ای امواج راسبی

مشابه مسئله امواج گرانی-لختی، با در نظر گرفتن جواب موجی شکل برای دستگاه معادلات (۱۵)، رابطه پاشندگی پیوسته تک‌لایه‌ای امواج راسبی به‌دست می‌آید:

$$\frac{\omega}{\beta} = - \frac{\lambda_{bt}^2 k}{1 + \lambda_{bt}^2 (k^2 + l^2)} \quad (17)$$

برای به‌دست آوردن، رابطه پاشندگی گسسته تک‌لایه‌ای امواج راسبی در شبکه LE، دستگاه معادلات (۱۵) به شکل زیر نوشته می‌شود:

$$\begin{cases} f_0 \bar{v}_g^t - g \partial_x h = 0 \\ f_0 \bar{u}_g^t + g \partial_y h = 0 \\ \partial_t \bar{u}_g^t - f_0 \bar{v}_a^t - \beta y \bar{v}_g^t = 0 \\ \partial_t \bar{v}_g^t + f_0 \bar{u}_a^t + \beta y \bar{u}_g^t = 0 \\ \partial_t h + H (\partial_x \bar{u}_a^t + \partial_y \bar{v}_a^t) = 0 \end{cases} \quad (18)$$

۵ نمایش امواج راسبی

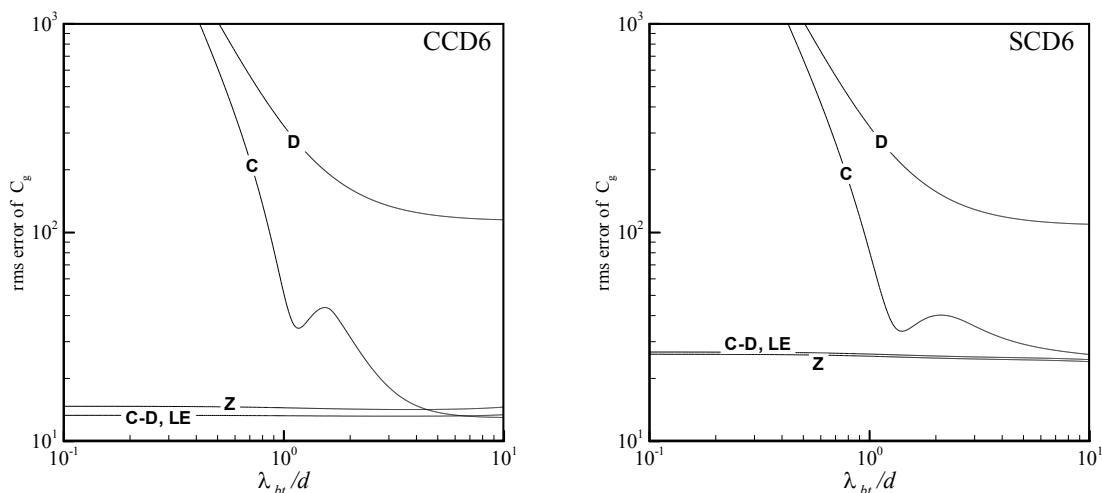
با در نظر گرفتن بخش زمین‌گرد  $(\bar{u}_g)$  و زمین‌گرد  $(\bar{u}_a)$  و تقریب صفحه  $\beta$  به صورت  $f = f_0 + \beta y$  صرف نظر کردن از جمله‌های کوچک‌تر در معادلات آب کم‌عمق خطی شده، می‌توان معادلات حاکم را برای امواج راسبی در یک محیط تک‌لایه به‌دست آورد (گیل، ۱۹۸۲):

$$\begin{cases} f_0 v_g - g \partial_x h = 0 \\ f_0 u_g + g \partial_y h = 0 \\ \partial_t u_g - f_0 v_a - \beta y v_g = 0 \\ \partial_t v_g + f_0 u_a + \beta y u_g = 0 \\ \partial_t h + H (\partial_x u_a + \partial_y v_a) = 0 \end{cases} \quad (15)$$

که  $\beta = \partial f / \partial y$  مقداری ثابت است.

به شیوه مشابه، معادلات حاکم برای امواج راسبی در یک محیط دولایه، به شکل زیر در می‌آید (قادر و همکاران، ۱۳۸۹):

$$\begin{cases} f_0 v_{g1} - g \partial_x (h_1 + h_2) = 0 \\ f_0 u_{g1} + g \partial_y (h_1 + h_2) = 0 \\ \partial_t u_{g1} - f_0 v_{a1} - \beta y v_{g1} = 0 \\ \partial_t v_{g1} + f_0 u_{a1} + \beta y u_{g1} = 0 \\ \partial_t h_1 + H_1 (\partial_x u_{a1} + \partial_y v_{a1}) = 0 \end{cases} \quad (16)$$



شکل ۸. مشابه شکل ۷ ولی برای سرعت گروه امواج گرانی-لختی دولایه‌ای.

گسسته تک‌لایه‌ای امواج راسبی در شبکه LE به‌دست می‌آید:

$$\frac{1}{\beta} T_{\frac{1}{2}}(\omega) = \frac{\lambda_{bt}^2 T_{\frac{1}{2}}(k) R_{\frac{1}{2}}(l) T_o(\omega)}{T_o^2(\omega) - \lambda_{bt}^2 (T_{\frac{1}{2}}^2(k) + T_{\frac{1}{2}}^2(l))} \quad (21)$$

به‌گونه‌ای که برآورد بسامد این امواج به مقدار عبارت  $\beta \lambda_{bt} \Delta t$  بستگی دارد. در این تحقیق، مقادیر نوعی  $\beta = 1.6 \times 10^{-11} (ms)^{-1}$  و  $\lambda_{bt} = 2000 km$  (گیل، ۱۹۸۲) در نظر گرفته شده‌اند.

رابطه (۲۱) در گام‌های زمانی کوچک ( $\Delta t \rightarrow 0$ )، به شکل زیر در می‌آید:

$$\frac{\omega}{\beta} = i \frac{\lambda_{bt}^2 T_{\frac{1}{2}}(k) R_{\frac{1}{2}}(l)}{1 - \lambda_{bt}^2 (T_{\frac{1}{2}}^2(k) + T_{\frac{1}{2}}^2(l))} \quad (22)$$

که معادل است با رابطه‌ای که در آن، بخش زمانی به‌صورت پیوسته در نظر گرفته می‌شود.

دستگاه معادلات (۱۵) برای گسسته‌سازی در شبکه C-D، به شکل زیر نوشته می‌شود:

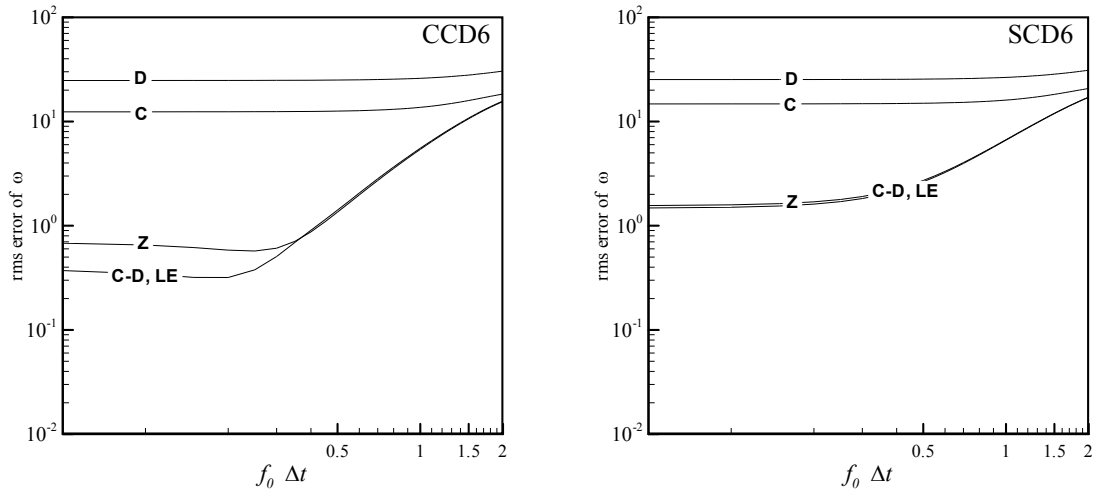
پس از گسسته‌سازی و در نظر گرفتن جواب موجی شکل  $e^{i(kx+ly-\omega t)}$ ، معادلات فوق به شکل زیر در می‌آید:

$$\begin{cases} f_o T_o(\omega) V_g - g T_{\frac{1}{2}}(k) H_g = 0 \\ f_o T_o(\omega) U_g + g T_{\frac{1}{2}}(l) H_g = 0 \\ T_{\frac{1}{2}}(\omega) U_g - f_o T_o(\omega) V_a - \beta y T_o(\omega) V_g = 0 \\ T_{\frac{1}{2}}(\omega) V_g + f_o T_o(\omega) U_a + \beta y T_o(\omega) U_g = 0 \\ T_{\frac{1}{2}}(\omega) H_g + H(T_{\frac{1}{2}}(k) U_a + T_{\frac{1}{2}}(l) V_a) = 0 \end{cases} \quad (19)$$

که  $U_g, V_g, H_g$  مقادیر دامنه جواب موجی شکل برای بخش زمین‌گرد  $U_a$  و  $V_a$  برای بخش زمین‌گرد هستند و تابع انتقال  $TF(l)$  که به علت وابستگی دامنه بخش زمین‌گرد به راستای  $y$  ظاهر می‌شود، در هنگام محاسبه دترمینان ماتریس ضرایب، برحسب تابع‌های انتقال  $T(l)$  و  $R(l)$  به‌صورت زیر اعمال می‌شود:

$$\begin{cases} TF(l) f_o = f_o T(l) \\ TF(l) \beta y = \beta y T(l) + \beta R(l) \end{cases} \quad (20)$$

پس از صفر قرار دادن دترمینان ماتریس ضرایب دستگاه معادلات فوق، شکل عمومی رابطه پاشندگی



شکل ۹. منحنی خطای کلی روش‌های CCD6 و SCD6 برای بسامد امواج گرانی-لختی دولایه‌ای در مُد کُزفشار به‌ازای  $\lambda_{bt}/d = 1$  (برحسب درصد).

$$\begin{cases} f_0 T_0(\omega) V_{gC} - g H_g T_{\frac{1}{2}}(k) T_0(k) T_0(l) = 0 \\ f_0 T_0(\omega) U_{gC} + g H_g T_{\frac{1}{2}}(l) T_0(k) T_0(l) = 0 \\ T_{\frac{1}{2}}(\omega) U_{gD} - f_0 T_0(\omega) V_{aC} - \beta y T_0(\omega) V_{gC} = 0 \\ T_{\frac{1}{2}}(\omega) V_{gD} + f_0 T_0(\omega) U_{aC} + \beta y T_0(\omega) U_{gC} = 0 \end{cases}$$

به‌این ترتیب، با صفر قرار دادن دترمینان ماتریس ضرایب دستگاه معادلات فوق، شکل عمومی رابطه پاشندگی گسسته تک‌لایه‌ای امواج راسبی در شبکه C-D به‌دست می‌آید:

$$\frac{1}{\beta} T_{\frac{1}{2}}(\omega) = \frac{\lambda_{bt}^2 T_0(k) T_0(l) T_{\frac{1}{2}}(k) R_{\frac{1}{2}}(l) T_0(\omega)}{T_0^2(\omega) - \lambda_{bt}^2 (T_{\frac{1}{2}}^2(k) + T_{\frac{1}{2}}^2(l))} \quad (25)$$

برخلاف مسئله امواج گرانی-لختی، این رابطه با رابطه (۲۱) مربوط به شبکه LE یکسان نیست. تنها تفاوت آنها در عامل  $T_0(k) T_0(l)$  است که در صورت کسر رابطه پاشندگی مربوط به شبکه C-D وجود دارد.

برای بررسی دقت روش‌های SCD6 و CCD6، خطای کلی  $E_{rms}$  محاسبه بسامد و سرعت گروه امواج راسبی تک‌لایه‌ای در شبکه‌های C-D و LE محاسبه شد. جدول‌های ۸ و ۹، این خطاهای کلی را در روش‌های

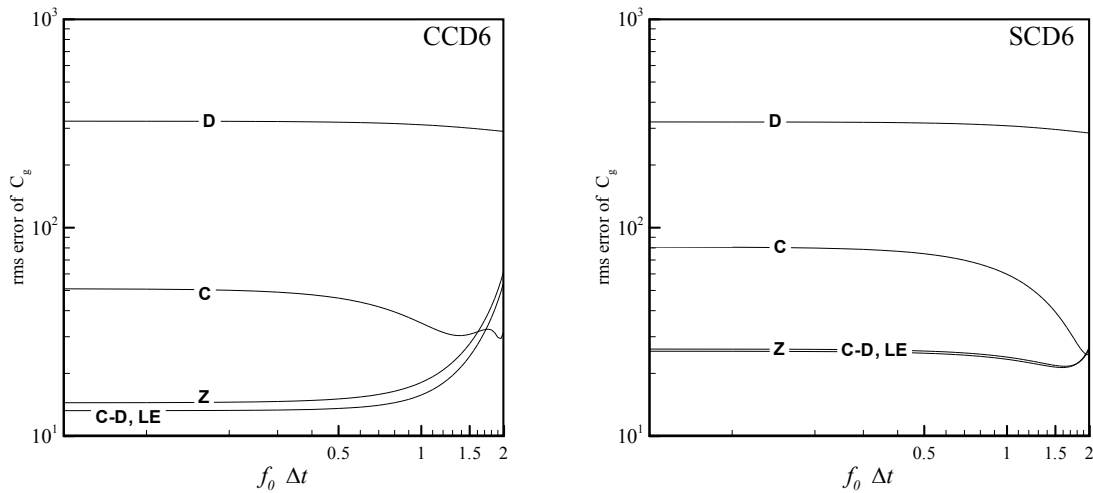
$$\begin{cases} f_0 \overline{v_{gD}}^t - g \partial_x h = 0 \\ f_0 \overline{u_{gD}}^t + g \partial_y h = 0 \\ \partial_t u_{gC} - f_0 \overline{v_{aD}}^t - \beta y \overline{v_{gD}}^t = 0 \\ \partial_t v_{gC} + f_0 \overline{u_{aD}}^t + \beta y \overline{u_{gD}}^t = 0 \\ \partial_t h + H(\partial_x u_{aC} + \partial_y v_{aC}) = 0 \end{cases} \quad (23)$$

$$\begin{cases} f_0 \overline{v_{gC}}^t - g \partial_x \overline{h}^{xy} = 0 \\ f_0 \overline{u_{gC}}^t + g \partial_y \overline{h}^{xy} = 0 \\ \partial_t u_{gD} - f_0 \overline{v_{aC}}^t - \beta y \overline{v_{gC}}^t = 0 \\ \partial_t v_{gD} + f_0 \overline{u_{aC}}^t + \beta y \overline{u_{gC}}^t = 0 \end{cases}$$

که پس از گسسته‌سازی، به‌صورت زیر در می‌آید:

$$\begin{cases} f_0 T_0(\omega) V_{gD} - g H_g T_{\frac{1}{2}}(k) = 0 \\ f_0 T_0(\omega) U_{gD} + g H_g T_{\frac{1}{2}}(l) = 0 \\ T_{\frac{1}{2}}(\omega) U_{gC} - f_0 T_0(\omega) V_{aD} - \beta y T_0(\omega) V_{gD} = 0 \\ T_{\frac{1}{2}}(\omega) V_{gC} + f_0 T_0(\omega) U_{aD} + \beta y T_0(\omega) U_{gD} = 0 \\ T_{\frac{1}{2}}(\omega) H_g + H(U_{aC} T_{\frac{1}{2}}(k) + V_{aC} T_{\frac{1}{2}}(l)) = 0 \end{cases} \quad (24)$$





شکل ۱۰. مشابه شکل ۹ ولی برای سرعت گروه امواج گرانی-لختی دولایه‌ای.

LE تفاوت قابل ملاحظه‌ای بین این دو روش عددی قائل شد. اگرچه خطا در شبکه C-D نسبت به شبکه‌های آراکاو C و D کمتر است ولی کمترین خطا برای محاسبه بسامد این امواج در شبکه Z و برای محاسبه سرعت گروه در شبکه LE روی می‌دهد.

شکل‌های ۱۱ و ۱۲، خطاهای کلی محاسبه بسامد و سرعت گروه امواج راسبی تک‌لایه‌ای را برای روش‌های SCD6 و CCD6 در شبکه‌های گوناگون به‌ازای  $\beta \lambda_{bt} \Delta t = 3.2$  نشان می‌دهند. منحنی‌های خطای کلی هر دو روش عددی در شبکه C-D به‌ازای  $\lambda_{bt}/d$  های بزرگ منطبق بر منحنی‌های شبکه C است. اما در

SCD6 و CCD6 برای دو مقدار  $\lambda_{bt}/d = 0.5$  و  $\lambda_{bt}/d = 2$  به‌ازای  $\beta \lambda_{bt} \Delta t = 3.2$  نشان می‌دهند (نتایج شبکه‌های آراکاو C و D و شبکه Z برای مقایسه داده شده‌اند). مطابق این جدول‌ها، برای محاسبه بسامد امواج راسبی تک‌لایه‌ای هم در  $\lambda_{bt}/d = 0.5$  و هم در  $\lambda_{bt}/d = 2$  عملکرد روش CCD6 در شبکه C-D با حدود ۳۵ درصد بهبود و در شبکه LE با حدود ۲۵ درصد، بهتر از روش SCD6 است. اما برای محاسبه سرعت گروه این امواج، روش SCD6 کمی بهتر است به‌جز در شبکه LE برای  $\lambda_{bt}/d = 0.5$  که روش CCD6 دارای عملکرد بهتری است. بنابراین، به‌طور کلی، نمی‌توان برای مسئله امواج راسبی تک‌لایه‌ای در شبکه‌های C-D و

جدول ۸ خطای کلی روش‌های SCD6 و CCD6 برای بسامد امواج راسبی تک‌لایه‌ای به‌ازای  $\beta \lambda_{bt} \Delta t = 3.2$  (برحسب درصد).

	$\lambda_{bt}/d = 0.5$				$\lambda_{bt}/d = 2$			
	SCD6	CCD6	P <sub>S</sub>	P <sub>C</sub>	SCD6	CCD6	P <sub>S</sub>	P <sub>C</sub>
C	57.464	41.696	-	27	59.010	36.485	-	38
D	47.282	246.227	81	-	47.955	253.475	81	-
Z	17.816	18.730	5	-	16.178	17.685	9	-
LE	55.037	42.896	-	22	54.968	39.934	-	27
C-D	59.326	39.840	-	33	59.192	36.309	-	39

جدول ۹. مشابه جدول ۸ ولی برای سرعت گروه امواج راسبی تک‌لایه‌ای.

	$\lambda_{bt}/d = 0.5$				$\lambda_{bt}/d = 2$			
	SCD6	CCD6	$P_S$	$P_C$	SCD6	CCD6	$P_S$	$P_C$
C	301.660	319.441	6	-	99.463	129.084	23	-
D	293.171	391.337	25	-	86.553	242.658	64	-
Z	525.133	582.871	10	-	184.096	191.708	4	-
LE	127.586	104.196	-	18	53.259	67.657	21	-
C-D	291.508	318.140	8	-	97.601	127.619	24	-

۲-۵ رابطه پاشندگی دولایه‌ای امواج راسبی با در نظر گرفتن جواب موجی شکل برای دستگاه معادلات (۱۶)، رابطه پاشندگی پیوسته دولایه‌ای امواج راسبی به شکل زیر در می‌آید (قادر و همکاران، ۱۳۸۹):

$$\frac{\omega}{\beta} = - \frac{[\mu_{\pm} + \varepsilon^2 \lambda_{bt}^2 (k^2 + l^2)] \lambda_{bt}^2 k}{1 + \lambda_{bt}^2 (k^2 + l^2) + \varepsilon^2 \lambda_{bt}^4 (k^2 + l^2)^2} \quad (26)$$

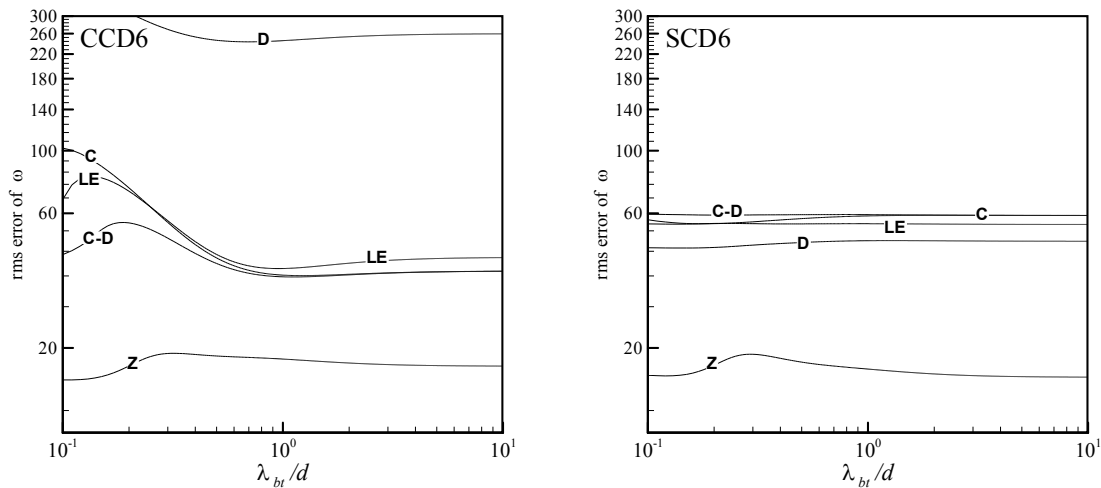
مشابه مسئله امواج راسبی تک‌لایه، در مدل دولایه نیز می‌توان شکل عمومی رابطه پاشندگی گسسته دولایه‌ای امواج راسبی در شبکه‌های LE و C-D را به دست آورد. برای شبکه LE، دستگاه معادلات (۱۶) به شکل زیر نوشته می‌شود:

$$\begin{cases} f_{\circ} \overline{v_{g1}^t} - g \partial_x (h_1 + h_2) = 0 \\ f_{\circ} \overline{u_{g1}^t} + g \partial_y (h_1 + h_2) = 0 \\ \partial_t u_{g1} - f_{\circ} \overline{v_{a1}^t} - \beta y \overline{v_{g1}^t} = 0 \\ \partial_t v_{g1} + f_{\circ} \overline{u_{a1}^t} + \beta y \overline{u_{g1}^t} = 0 \\ \partial_t h_1 + H_1 (\partial_x u_{a1} + \partial_y v_{a1}) = 0 \end{cases} \quad (27)$$

$$\begin{cases} f_{\circ} \overline{v_{g2}^t} - g \partial_x (h_1 + h_2) + g' \partial_x h_1 = 0 \\ f_{\circ} \overline{u_{g2}^t} + g \partial_y (h_1 + h_2) - g' \partial_y h_1 = 0 \\ \partial_t u_{g2} - f_{\circ} \overline{v_{a2}^t} - \beta y \overline{v_{g2}^t} = 0 \\ \partial_t v_{g2} + f_{\circ} \overline{u_{a2}^t} + \beta y \overline{u_{g2}^t} = 0 \\ \partial_t h_2 + H_2 (\partial_x u_{a2} + \partial_y v_{a2}) = 0 \end{cases}$$

$\lambda_{bt}/d$  های کوچک، رفتار شبکه C-D مانند شبکه C نیست. این مسئله در منحنی‌های خطای کلی سرعت گروه این امواج بارزتر است. این همان رفتار مطلوبی است که با تغییر شبکه عددی از آراکاو C به شبکه C-D برآورده شده است. به‌طور کلی، برای همه  $\lambda_{bt}/d$  ها، کمترین خطای روش‌های SCD6 و CCD6 در محاسبه بسامد امواج راسبی تک‌لایه‌ای، مربوط به شبکه Z است. درحالی‌که کمترین خطای محاسبه سرعت گروه این امواج در شبکه LE روی می‌دهد.

شکل‌های ۱۳ و ۱۴، خطاهای کلی محاسبه بسامد و سرعت گروه امواج راسبی تک‌لایه‌ای را برای روش‌های SCD6 و CCD6 برای  $\beta \lambda_{bt} \Delta t$  های متفاوت به‌ازای  $\lambda_{bt}/d = 1$  نشان می‌دهند. در محاسبه بسامد این امواج، با افزایش گام زمانی، در هر دو روش عددی برای همه شبکه‌ها خطای کلی روندی افزایشی دارد به‌جز برای شبکه D در روش CCD6 که خطای کلی محاسبه بسامد در حال کاهش است. این روند، در محاسبه سرعت گروه، برعکس است و خطای کلی محاسبه سرعت گروه این امواج، با افزایش گام زمانی برای همه شبکه‌ها به‌جز شبکه LE کاهش می‌یابد. به‌علاوه در گام‌های زمانی بزرگ، خطاهای کلی محاسبه بسامد و سرعت گروه این امواج، به یک مقدار معین میل می‌کند.



شکل ۱۱. منحنی خطای کلی روش‌های CCD6 و SCD6 برای بسامد امواج راسبی تک‌لایه‌ای در شبکه‌های گوناگون به‌ازای  $\beta \lambda_{bt} \Delta t = 3.2$  (برحسب درصد).

معادلات (۱۶) به شکل زیر نوشته می‌شود:

$$\left\{ \begin{aligned} f_o \overline{v_{g1D}}^t - g \partial_x (h_1 + h_2) &= 0 \\ f_o \overline{u_{g1D}}^t + g \partial_y (h_1 + h_2) &= 0 \\ \partial_t \overline{u_{g1C}} - f_o \overline{v_{a1D}}^t - \beta y \overline{v_{g1D}}^t &= 0 \\ \partial_t \overline{v_{g1C}} + f_o \overline{u_{a1D}}^t + \beta y \overline{u_{g1D}}^t &= 0 \\ \partial_t h_1 + H_1 (\partial_x \overline{u_{a1C}} + \partial_y \overline{v_{a1C}}) &= 0 \\ f_o \overline{v_{g1C}} - g \partial_x (\overline{h_1 + h_2})^{xy} &= 0 \\ f_o \overline{u_{g1C}} + g \partial_y (\overline{h_1 + h_2})^{xy} &= 0 \\ \partial_t \overline{u_{g1D}} - f_o \overline{v_{a1C}}^t - \beta y \overline{v_{g1C}}^t &= 0 \\ \partial_t \overline{v_{g1D}} + f_o \overline{u_{a1C}}^t + \beta y \overline{u_{g1C}}^t &= 0 \end{aligned} \right. \quad (30)$$

$$\left\{ \begin{aligned} f_o \overline{v_{g2D}}^t - g \partial_x (h_1 + h_2) + g' \partial_x h_1 &= 0 \\ f_o \overline{u_{g2D}}^t + g \partial_y (h_1 + h_2) - g' \partial_y h_1 &= 0 \\ \partial_t \overline{u_{g2C}} - f_o \overline{v_{a2D}}^t - \beta y \overline{v_{g2D}}^t &= 0 \\ \partial_t \overline{v_{g2C}} + f_o \overline{u_{a2D}}^t + \beta y \overline{u_{g2D}}^t &= 0 \\ \partial_t h_2 + H_2 (\partial_x \overline{u_{a2C}} + \partial_y \overline{v_{a2C}}) &= 0 \\ f_o \overline{v_{g2C}} - g \partial_x (\overline{h_1 + h_2})^{xy} + g' \partial_x \overline{h_1}^{xy} &= 0 \\ f_o \overline{u_{g2C}} + g \partial_y (\overline{h_1 + h_2})^{xy} - g' \partial_y \overline{h_1}^{xy} &= 0 \\ \partial_t \overline{u_{g2D}} - f_o \overline{v_{a2C}}^t - \beta y \overline{v_{g2C}}^t &= 0 \\ \partial_t \overline{v_{g2D}} + f_o \overline{u_{a2C}}^t + \beta y \overline{u_{g2C}}^t &= 0 \end{aligned} \right.$$

آن‌گاه، پس از گسسته‌سازی‌های مکانی و زمانی و در نظر گرفتن جواب موجی شکل، شکل عمومی رابطه پاشندگی گسسته دولایه‌ای امواج راسبی در شبکه LE به‌دست می‌آید:

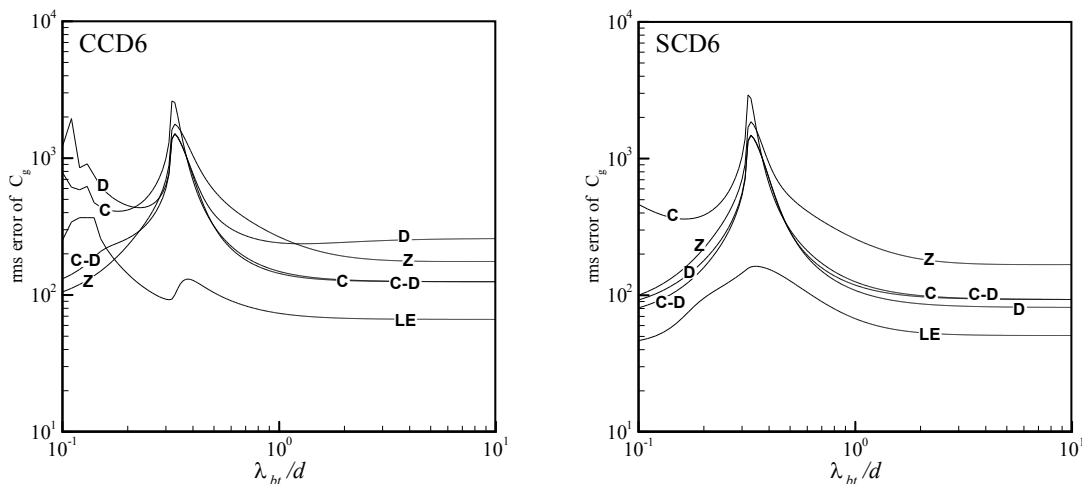
$$\frac{1}{\beta} T_{\frac{1}{2}}(\omega) = \frac{\left( \left( \mu_{\pm} T_o^2(\omega) - \varepsilon^2 \lambda_{bt}^2 \left( T_{\frac{1}{2}}^2(k) + T_{\frac{1}{2}}^2(l) \right) \right) \lambda_{bt}^2 T_{\frac{1}{2}}(k) R_{\frac{1}{2}}(l) T_o(\omega) \right)}{\left( T_o^4(\omega) - \lambda_{bt}^2 \left( T_{\frac{1}{2}}^2(k) + T_{\frac{1}{2}}^2(l) \right) T_o^2(\omega) + \varepsilon^2 \lambda_{bt}^4 \left( T_{\frac{1}{2}}^2(k) + T_{\frac{1}{2}}^2(l) \right)^2 \right)} \quad (28)$$

در گام‌های زمانی کوچک ( $\Delta t \rightarrow 0$ )، رابطه فوق

به شکل زیر در می‌آید:

$$\frac{\omega}{\beta} = \frac{i \left( \left( \mu_{\pm} - \varepsilon^2 \lambda_{bt}^2 \left( T_{\frac{1}{2}}^2(k) + T_{\frac{1}{2}}^2(l) \right) \right) \lambda_{bt}^2 T_{\frac{1}{2}}(k) R_{\frac{1}{2}}(l) \right)}{\left( 1 - \lambda_{bt}^2 \left( T_{\frac{1}{2}}^2(k) + T_{\frac{1}{2}}^2(l) \right) + \varepsilon^2 \lambda_{bt}^4 \left( T_{\frac{1}{2}}^2(k) + T_{\frac{1}{2}}^2(l) \right)^2 \right)} \quad (29)$$

برای گسسته‌سازی در شبکه C-D، ابتدا دستگاه

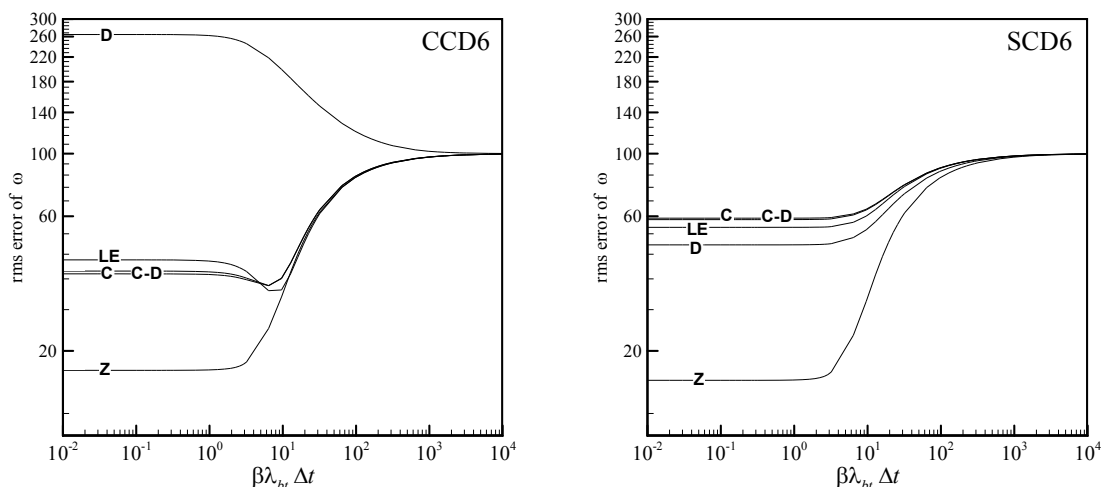


شکل ۱۲. مشابه شکل ۱۱ ولی برای سرعت گروه امواج راسبی تک‌لایه‌ای.

تفاوت این رابطه با رابطه (۲۸) مربوط به شبکه LE تنها در عامل  $T_o(k)T_o(l)$  در صورت کسر است. برای ارزیابی عملکرد روش‌های SCD6 و CCD6، خطاهای کلی محاسبه بسامد و سرعت گروه امواج راسبی دولایه در شبکه C-D و LE محاسبه شد. جدول‌های ۱۰ و ۱۱، مقادیر این خطاهای کلی را در مُد کژفشار برای دو مقدار  $\lambda_{bt}/d = 0.5$  و  $\lambda_{bt}/d = 2$  به‌ازای  $\beta \lambda_{bt} \Delta t = 3.2$  نشان می‌دهند (نتایج در شبکه‌های دیگر نیز برای مقایسه داده شده است). در شبکه‌های C-D و LE، برای مسئله امواج راسبی دولایه نیز خطای روش‌های SCD6 و CCD6 در مُد کژفشار مشابه نتایج مدل تک‌لایه (معادل

آن‌گاه، پس از گسسته‌سازی و در نظر گرفتن جواب موجی‌شکل، شکل عمومی رابطه پاشندگی گسسته دولایه‌ای امواج راسبی در شبکه C-D نیز به‌صورت زیر به‌دست می‌آید:

$$\frac{1}{\beta} T_{\frac{1}{2}}(\omega) = \frac{\left( \left( \mu_{\pm} T_o^2(\omega) - \varepsilon^2 \lambda_{bt}^2 \left( T_{\frac{1}{2}}^2(k) + T_{\frac{1}{2}}^2(l) \right) \right) \lambda_{bt}^2 T_o(k) T_o(l) T_{\frac{1}{2}}(k) R_{\frac{1}{2}}(l) T_o(\omega) \right)}{\left( T_o^4(\omega) - \lambda_{bt}^2 \left( T_{\frac{1}{2}}^2(k) + T_{\frac{1}{2}}^2(l) \right) T_o^2(\omega) + \varepsilon^2 \lambda_{bt}^4 \left( T_{\frac{1}{2}}^2(k) + T_{\frac{1}{2}}^2(l) \right)^2 \right)} \quad (31)$$



شکل ۱۳. منحنی خطای کلی روش‌های SCD6 و CCD6 برای بسامد امواج راسبی تک‌لایه‌ای در شبکه‌های گوناگون به‌ازای  $\lambda_{bt}/d = 1$  (برحسب درصد).

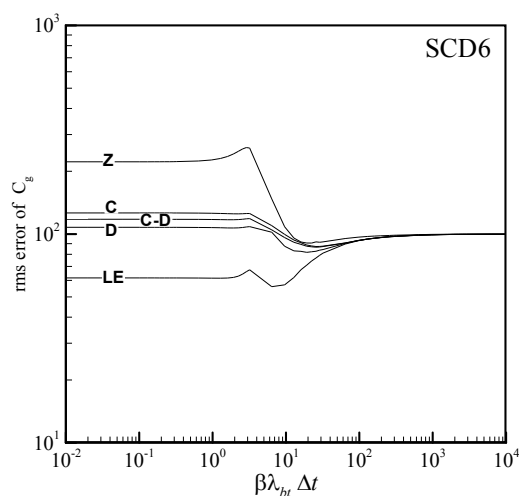
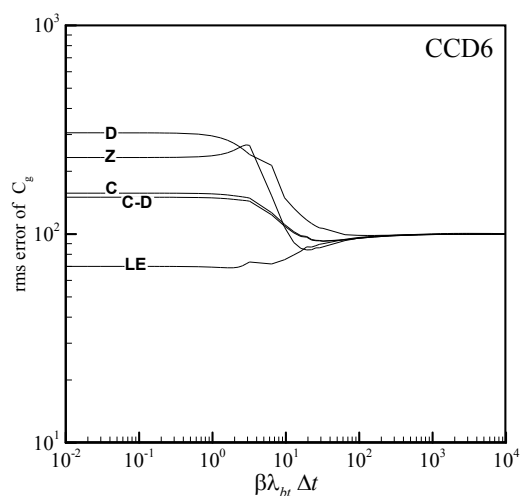
جدول ۱۰. خطای کلی روش‌های SCD6 و CCD6 برای بسامد امواج راسبی دولایه‌ای در مُد کُزفشار به‌ازای  $\beta \lambda_{bt} \Delta t = 3.2$  (برحسب درصد).

	$\lambda_{bt}/d = 0.5$				$\lambda_{bt}/d = 2$			
	SCD6	CCD6	$P_S$	$P_C$	SCD6	CCD6	$P_S$	$P_C$
<b>C</b>	<b>54.385</b>	<b>59.012</b>	<b>8</b>	-	<b>57.517</b>	<b>40.041</b>	-	<b>30</b>
<b>D</b>	<b>45.834</b>	<b>316.305</b>	<b>86</b>	-	<b>47.118</b>	<b>269.349</b>	<b>83</b>	-
<b>Z</b>	<b>16.421</b>	<b>15.994</b>	-	<b>3</b>	<b>15.795</b>	<b>16.854</b>	<b>6</b>	-
<b>LE</b>	<b>55.263</b>	<b>43.775</b>	-	<b>21</b>	<b>54.891</b>	<b>42.193</b>	-	<b>23</b>
<b>C-D</b>	<b>59.742</b>	<b>38.125</b>	-	<b>36</b>	<b>59.220</b>	<b>37.625</b>	-	<b>36</b>

دولایه‌ای را برای مُد کُزفشار در شبکه‌های C-D و LE (و شبکه‌های آراکاو C و D و شبکه Z به منظور مقایسه) برحسب  $\lambda_{bt}/d$  به‌ازای  $\beta \lambda_{bt} \Delta t = 3.2$  نشان می‌دهند. مطابق شکل، عملکرد روش‌های SCD6 و CCD6 برای محاسبه بسامد امواج راسبی دولایه‌ای در شبکه Z بهتر از شبکه‌های C-D و LE است ولی برای محاسبه سرعت گروه این امواج، این وضعیت برعکس است؛ به گونه‌ای که نتایج در شبکه C-D و به‌ویژه در شبکه LE بهتر از شبکه Z است. مشکل افزایش خطا در شبکه C برای  $\lambda_{bt}/d$  های کوچک که در مُد کُزفشار با شدت بیشتری همراه است، در شبکه C-D وجود ندارد و خطای کلی

با مُد فشاورد در مدل دولایه) است به گونه‌ای که در محاسبه بسامد این امواج، روش CCD6 و در محاسبه سرعت گروه، روش SCD6 عملکرد بهتری دارد به‌جز در شبکه LE برای  $\lambda_{bt}/d = 2$  که دقت روش CCD6 برای محاسبه سرعت گروه امواج راسبی دولایه (با حدود ۲۰ درصد بهبود) بهتر از SCD6 است. همانند مدل تک‌لایه، کمترین خطای محاسبه بسامد امواج راسبی دولایه‌ای برای هر دو روش با عملکرد تقریباً یکسان، در شبکه Z روی می‌دهد و کمترین خطای محاسبه سرعت گروه این امواج مربوط به شبکه LE است.

شکل‌های ۱۵ و ۱۶، خطاهای کلی روش‌های SCD6 و CCD6 در محاسبه بسامد و سرعت گروه امواج راسبی



شکل ۱۴. مشابه شکل ۱۳ ولی برای سرعت گروه امواج راسبی تک‌لایه‌ای.

جدول ۱۱. مشابه جدول ۱۰ ولی برای سرعت گروه امواج راسبی دولایه‌ای.

	$\lambda_{bt}/d = 0.5$				$\lambda_{bt}/d = 2$			
	SCD6	CCD6	$P_S$	$P_C$	SCD6	CCD6	$P_S$	$P_C$
C	369.659	399.055	7	-	225.627	252.319	11	-
D	109.019	567.449	81	-	191.400	387.562	51	-
Z	120.419	125.636	4	-	346.837	377.345	8	-
LE	47.271	73.885	36	-	89.656	70.603	-	21
C-D	96.413	135.775	29	-	196.620	229.351	14	-

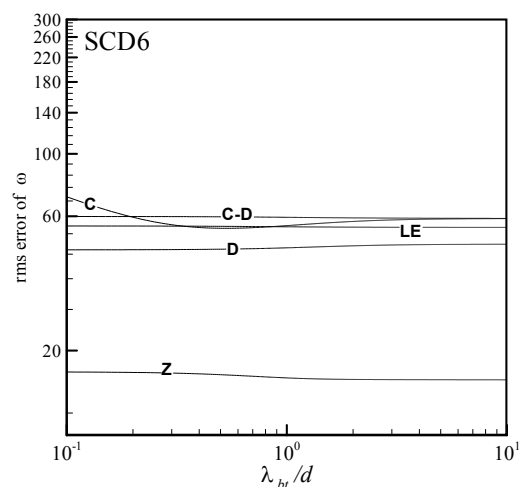
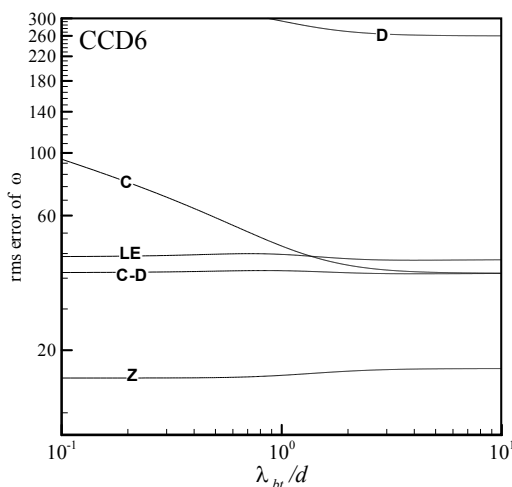
دولایه نیز با افزایش گام زمانی، خطای کلی محاسبه بسامد امواج راسبی در همه شبکه‌ها به جز شبکه D (برای روش CCD6) افزایش پیدا می‌کند؛ درحالی‌که خطای کلی محاسبه سرعت گروه این امواج، در همه شبکه‌ها به جز شبکه LE کاهش می‌یابد. چه برای محاسبه بسامد و چه برای محاسبه سرعت گروه امواج راسبی، با افزایش گام زمانی، مقدار خطای کلی در همه شبکه‌ها به یک مقدار معین میل می‌کند. این مقدار به‌ازای  $\lambda_{bt}/d = 1$ ، در مدل دولایه مشابه مدل تک‌لایه، حدود ۱۰۰ درصد است.

#### ۶ قله خطا در مسئله امواج راسبی

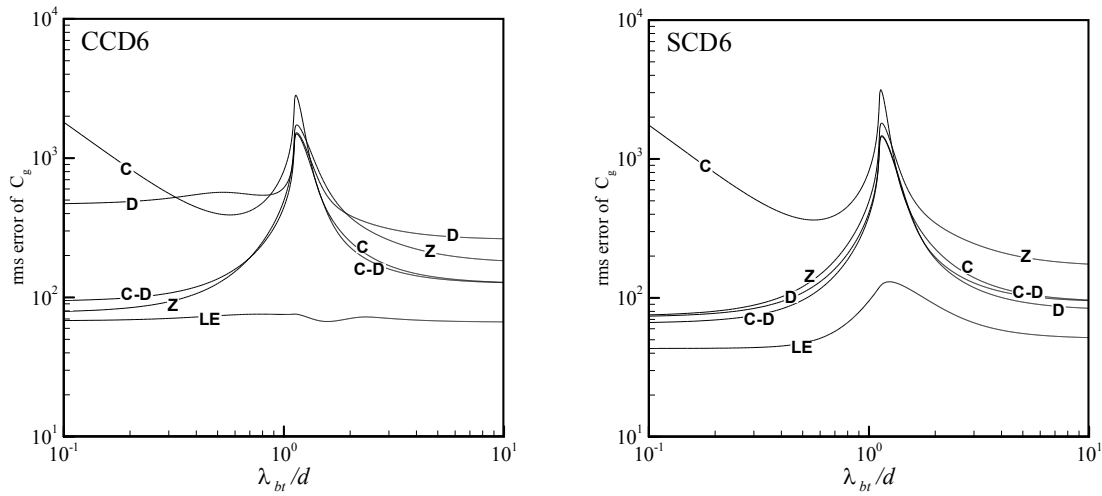
قله‌ای که در منحنی‌های خطای کلی سرعت گروه امواج

محاسبه بسامد امواج راسبی دولایه در شبکه C-D (همانند شبکه‌های LE و Z) به مقدار  $\lambda_{bt}/d$  حساس نیست. باین‌حال در خطای کلی محاسبه سرعت گروه این امواج همانند مدل تک‌لایه، تقریباً در همه شبکه‌ها همچنان قله‌ای مشاهده می‌شود که شدت آن در شبکه LE (به‌شکل بارزتر برای روش CCD6) بسیار کمتر از شبکه‌های C-D و Z است. در بخش بعدی به علت بروز این قله می‌پردازیم.

شکل‌های ۱۷ و ۱۸، خطاهای کلی روش‌های SCD6 و CCD6 در محاسبه بسامد و سرعت گروه امواج راسبی دولایه‌ای را برای  $\beta \lambda_{bt} \Delta t$  های متفاوت، به‌ازای  $\lambda_{bt}/d = 1$  نشان می‌دهند. مشابه مدل تک‌لایه، در مدل



شکل ۱۵. منحنی خطای کلی روش‌های CCD6 و SCD6 برای بسامد امواج راسبی دولایه‌ای در مُد کُزفشار به‌ازای  $\beta \lambda_{bt} \Delta t = 3.2$  (برحسب درصد).

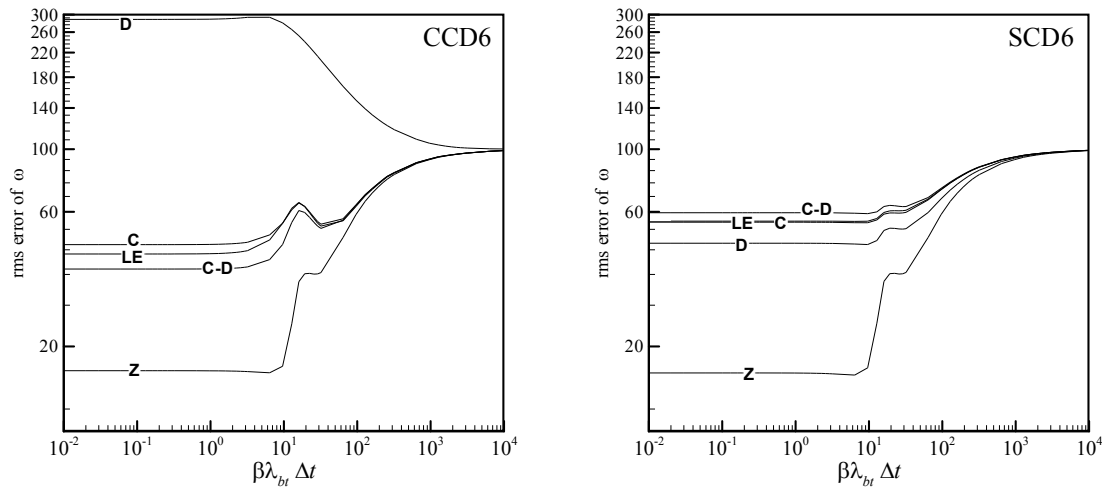


شکل ۱۶. مشابه شکل ۱۵ ولی برای سرعت گروه امواج راسبی دولایه‌ای.

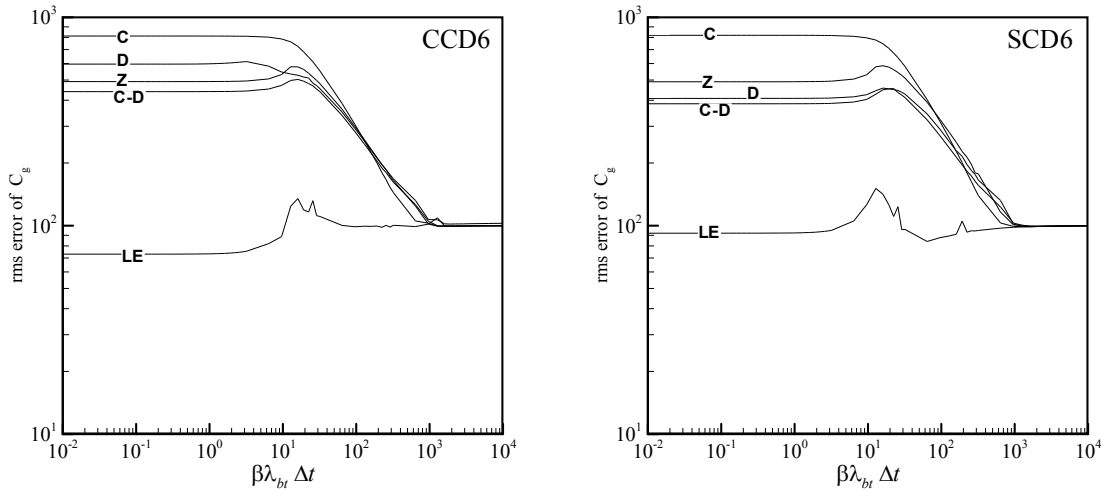
و خطا به شدت افزایش می‌یابد. برای بررسی جامع‌تر این قله، جواب دقیق سرعت گروه امواج راسبی تک‌لایه را واکاوی می‌کنیم. طبق رابطه پاشندگی امواج راسبی تک‌لایه - رابطه (۱۷) - جواب دقیق سرعت گروه امواج راسبی تک‌لایه به شکل زیر است:

$$C_{g\text{ exact}} = \frac{\lambda_{bt}^2 \beta \left[ \left( 1 + \lambda_{bt}^2 (k^2 + l^2) \right)^2 - 4 \lambda_{bt}^2 k^2 \right]^{\frac{1}{2}}}{\left( 1 + \lambda_{bt}^2 (k^2 + l^2) \right)^2} \quad (32)$$

راسبی هم در مُد فشارورد و هم در مُد کُزفشار مشاهده می‌شود، بیانگر حساسیت زیاد این خطا به مقدار  $\lambda_{bt}/d$  است. این قله که طبق تحقیق گلشاهی و همکاران (۲۰۱۱)، در مُد فشارورد (تقریباً معادل با مدل تک‌لایه) به‌ازای مقدار بحرانی  $\lambda_{bt}/d \approx 0.34$  و در مُد کُزفشار به‌ازای مقدار بحرانی  $\lambda_{bt}/d \approx 1.14$  روی می‌دهد، تقریباً مستقل از نوع شبکه به کار گرفته شده است. طبق این تحقیق، سرعت گروه امواج راسبی به‌ازای یک  $\lambda_{bt}/d$  معین دارای یک کمینه است و در نتیجه در محاسبه خطای نسبی، مخرج کسر خیلی کوچک می‌شود



شکل ۱۷. منحنی خطای کلی روش‌های CCD6 و SCD6 برای بسامد امواج راسبی دولایه‌ای در مُد کُزفشار به‌ازای  $\lambda_{bt}/d = 1$  (برحسب درصد).



شکل ۱۸. مشابه شکل ۱۷ ولی برای سرعت گروه امواج راسبی دولایه‌ای.

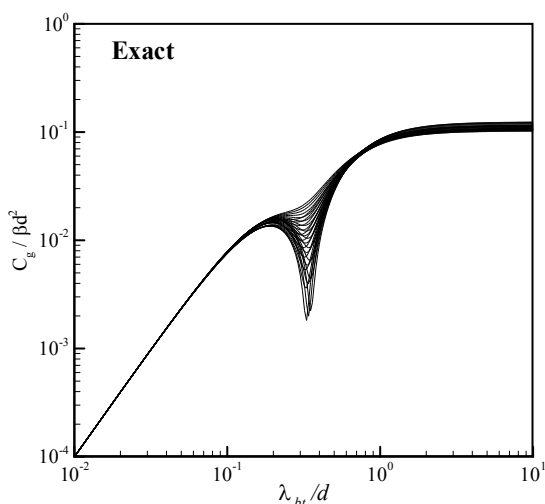
#### ۷ نتیجه‌گیری

در این پژوهش، با استخراج شکل عمومی روابط پاشندگی گسسته تک‌لایه‌ای و دولایه‌ای امواج گرانی-لختی و امواج راسبی در شبکه‌های LE و C-D، دقت روش‌های ابرفشرده و فشرده ترکیبی مرتبه ششم در محاسبه بسامد و سرعت گروه این امواج مورد ارزیابی قرار گرفت. باید توجه داشت که شکل عمومی روابط پاشندگی گسسته امواج گرانی-لختی در شبکه‌های C-D

نقاط فرین این تابع از رابطه زیر به دست می‌آید:

$$\lambda_{bt}^2 = \frac{2(k^2 + l^2) - 3l^2 \pm k\sqrt{k^2 - 8l^2}}{(k^2 + l^2)(3k^2 + l^2)} \quad (33)$$

طبق این رابطه، تنها به‌ازای  $k^2 \geq 8l^2$  سرعت گروه دارای فرین است. بنابراین، می‌توان با تقریب خوبی از  $l^2$  در مقابل  $k^2$  صرف نظر کرد. به این ترتیب، با در نظر گرفتن  $l^2 = 0$ ، فرین سرعت گروه امواج راسبی تک‌لایه در  $\lambda_{bt}^2 = \frac{2 \pm 1}{3k^2} = \frac{1}{k^2}, \frac{1}{3k^2}$  روی می‌دهد به گونه‌ای که در  $\lambda_{bt}^2 = \frac{1}{k^2}$  (یعنی در  $\lambda_{bt}/d = \frac{1}{kd}$ )، سرعت گروه به صفر میل می‌کند. شکل ۱۹، جواب دقیق عبارت  $C_g / \beta d^2$  امواج راسبی تک‌لایه را برحسب  $\lambda_{bt}/d$  و شکل ۲۰، خطای نسبی آن را برای روش CCD6 در شبکه‌های LE، C-D و Z به‌ازای برخی از  $kd$  و  $ld$ ها نشان می‌دهد که در آن، خطای نسبی محاسبه بسامد امواج راسبی تک‌لایه برای گام‌های زمانی کوچک ( $\Delta t \rightarrow 0$ ) محاسبه شده است. با توجه به اینکه، تابع‌های انتقال  $T(k)$  در  $kd$ های بزرگ، خطای بیشتری دارند، بزرگ‌ترین قله‌ها به‌ازای  $kd = \pi$  در حدود  $\lambda_{bt}/d = \frac{1}{\pi} \approx 0.32$  ایجاد می‌شوند که به مقدار  $\lambda_{bt}/d \approx 0.34$  خیلی نزدیک است.

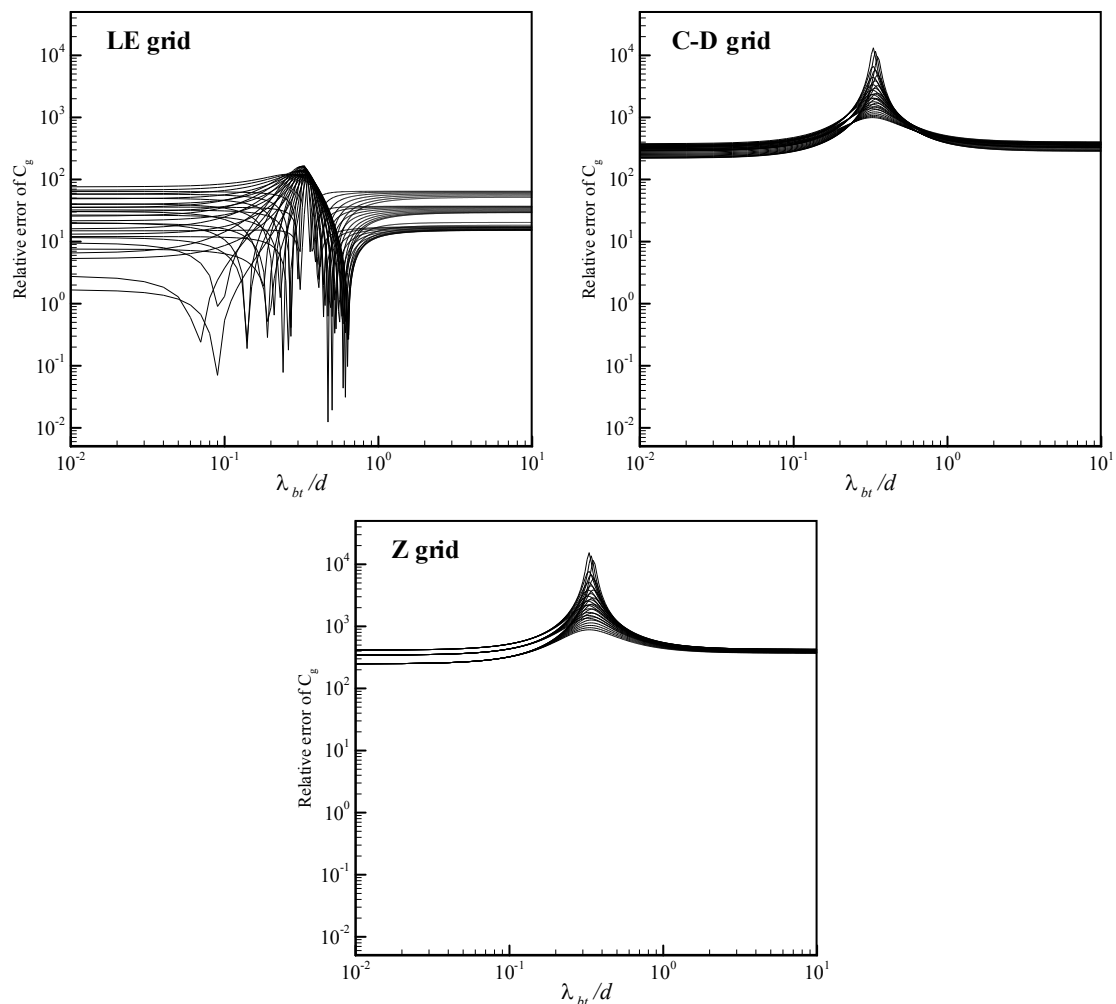


شکل ۱۹. منحنی‌های جواب دقیق  $C_g / \beta d^2$  امواج راسبی تک‌لایه‌ای برحسب  $\lambda_{bt}/d$  به‌ازای برخی  $kd$  و  $ld$ ها.



شبکه‌ها برای مسئله امواج گرانی-لختی است. برای مسئله امواج راسبی، در هر دو روش CCD6 و SCD6 با افزایش گام زمانی، خطای کلی محاسبه بسامد در شبکه‌های C-D و LE افزایش پیدا می‌کند ولی خطای کلی محاسبه سرعت گروه، در شبکه C-D کاهش و در شبکه LE افزایش می‌یابد. به‌علاوه، دقت روش CCD6 در محاسبه بسامد امواج راسبی، هم در شبکه C-D و هم در شبکه LE بهتر از روش SCD6 است اما در محاسبه سرعت گروه این امواج، عملکرد روش SCD6 کمی بهتر است. بنابراین در مجموع، برای مسئله امواج راسبی نمی‌توان یکی از این دو

و LE با هم برابری ولی در مسئله امواج راسبی، این روابط یکسان نیستند. نتایج نشان می‌دهد که در مسئله امواج گرانی-لختی، اگرچه با افزایش گام زمانی، خطاهای کلی روش CCD6 روند افزایشی بیشتری نسبت به روش SCD6 دارند، اما در گام‌های زمانی کوچک، هم در محاسبه بسامد و هم در محاسبه سرعت گروه این امواج، روش CCD6 در شبکه‌های C-D و LE (همانند شبکه Z) نسبت به روش SCD6 برتری دارد. به‌علاوه، دقت روش CCD6 در شبکه‌های C-D و LE کمی بهتر از شبکه Z است. این مسئله بیانگر قابلیت زیاد روش CCD6 در این



شکل ۲۰. منحنی‌های خطای نسبی محاسبه سرعت گروه امواج راسبی تک‌لایه برحسب  $\lambda_{bt}/d$  به‌ازای  $kd$  و  $ld$ ‌های شکل ۱۹ و  $\Delta t \rightarrow 0$ ، برای روش CCD6 در شبکه‌های C-D، LE و Z (برحسب درصد).

## منابع

اصفهانیان، و. و قادر، س.، ۱۳۸۶، بررسی دقت روش‌های فشرده و آبرفشرده در گسسته‌سازی مکانی معادلات آب کم‌عمق خطی شده: مجله فیزیک زمین و فضا، ۳۳(۱)، ۱۰۷-۱۱۸.

قادر، س.، احمدی‌گیوی، ف. و گلشاهی، ح.، ۱۳۸۹، مقایسه عملکرد روش‌های آبرفشرده و فشرده ترکیبی مرتبه ششم در گسسته‌سازی مکانی مدل آب کم‌عمق دولایه‌ای: نمایش امواج گرانی-لختی و راسبی خطی: مجله ژئوفیزیک ایران، ۴(۲)، ۴۹-۶۹.

Adcroft, A. J., Hill, C. N., and Marshal, J. C., 1999, A new treatment of the Coriolis terms in C-grid models at both high and low resolutions: *Mon. Wea. Rev.*, **127**, 1928-1936.

Arakawa, A., and Lamb, V. R., 1977, Computational design of the basic dynamical processes of the UCLA general circulation model: *Methods of Computational Physics*, **17**, 173-265.

Blayo, E., 2000, Compact finite difference schemes for ocean models: 1. Ocean waves: *Journal of Computational Physics*, **164**, 241-257.

Cantha, L. H., and Clayson, C. A., 2000, *Numerical Models of Oceans and Oceanic Processes*: Academic Press.

Castro, M. J., Garcia-Rodriguez, J. A., Gonzalez-Vida, J. M., Macias, J., and Pares, C., 2007, Improved FVM for two-layer shallow-water models: Application to the strait of Gibraltar: *Advances in Engineering Softwares*, **38**, 386-398.

Chu, P. C., and Fan, C., 1998, A three-point combined compact difference scheme: *Journal of Computational Physics*, **140**, 370-399.

Chu, P. C., and Fan, C., 2000, A three-point sixth-order staggered combined compact difference scheme: *Mathematical and Computer Modeling*, **32**, 323-340.

Dobricic, S., 2006, An improved calculation of Coriolis terms on the C grid: *Mon. Wea. Rev.*, **134**, 3764-3773.

Dukowicz, J. K., 1995, Mesh effects for Rossby waves: *Journal of Computational Physics*, **119**, 188-194.

Esfahanian, V., Ghader, S., and Mohebalhojeh, A. R., 2005, On the use of super compact scheme for spatial differencing in numerical models of

روش را بهتر از دیگری معرفی کرد. برای هر دو روش CCD6 و SCD6، خطای محاسبه بسامد امواج راسبی در شبکه Z به مراتب کمتر از شبکه C-D است به گونه‌ای که کمترین خطای محاسبه بسامد این امواج در شبکه Z روی می‌دهد. این در حالی است که کمترین خطا در محاسبه سرعت گروه این امواج در شبکه LE مشاهده می‌شود. به‌طور کلی، هم برای امواج گرانی-لختی و هم برای امواج راسبی، نتایج نشان می‌دهد که با تغییر شبکه از آراکوا C به شبکه C-D نه تنها خطا در  $\lambda_{bt}/d$  های کوچک کاهش یافته، بلکه رفتار مطلوب شبکه C در  $\lambda_{bt}/d$  های بزرگ نیز حفظ شده است.

از دیگر مواردی که در این پژوهش به آن پرداخته شد، قله‌ای است که در خطای کلی محاسبه سرعت گروه امواج راسبی مشاهده می‌شود. این قله بیانگر حساسیت زیاد خطای سرعت گروه امواج راسبی به مقدار  $\lambda_{bt}/d$  است. در بررسی صورت گرفته روی سرعت گروه امواج راسبی تک‌لایه، مشخص شد که در برخی از طول موج‌ها جواب دقیق سرعت گروه این امواج به صفر میل می‌کند که به خطای نسبی بزرگ‌تر و ایجاد قله در منحنی خطای کلی محاسبه سرعت گروه امواج راسبی منجر می‌شود.

نتایج این پژوهش، با استفاده از مدل‌های آب کم‌عمق تک‌لایه و دولایه خطی شده برای مسئله امواج گرانی-لختی و راسبی به‌دست آمده است و استفاده از شبکه C-D برای شکل پیچیده‌تر و غیرخطی معادلات آب کم‌عمق، موضوعی است که باید به آن پرداخته شود.

## تشکر و قدردانی

نویسندگان مقاله از دانشگاه آزاد اسلامی واحد شوشتر به خاطر حمایت از این کار تشکر می‌کنند.

- China Ser. D, **48**(9), 1559-1568
- Ma, Y., and Fu, D., 1996, Super compact finite difference method (SCFDM) with arbitrary high accuracy: *Computation Fluid Dynamics Journal*, **5**, 259-276.
- Mohebalhojeh, A. R., and Dritschel, D. G., 2007, Assessing the numerical accuracy of complex spherical shallow-water flows: *Mon. Wea. Rev.*, **135**, 3876-3894.
- Nechaev, D., and Yaremchuk, M., 2004, On the approximation of the Coriolis terms in C-grid models: *Mon. Wea. Rev.*, **132**, 2283-2289.
- Neta, B., and Williams, R. T., 1989, Rossby wave frequencies and group velocities for finite element and finite difference approximations to the vorticity-divergence and the primitive forms of the shallow water equations: *Mon. Wea. Rev.*, **117**, 1439-1457.
- Park, N., Yoo, J. Y., and Choi, H., 2004, Discretization errors in large eddy simulation: on the suitability of centered and upwind-biased compact difference schemes: *Journal of Computational Physics*, **198**, 580-616.
- Randall, D. A., 1994, Geostrophic adjustment and the finite-difference shallow-water equations: *Mon. Wea. Rev.*, **122**, 1371-1377.
- Rizzetta, D. P., Visbal, M. R., and Morgan, P. E., 2008, A high-order compact finite-difference scheme for large-eddy simulation of active flow control: *Progress in Aerospace Sciences*, **44**, 397-426.
- Skamarock, W. C., 2008, A linear analysis of the NCAR CCSM finite-volume dynamical core: *Mon. Wea. Rev.*, **136**, 2112-2119.
- Smith, R. D., Boudra, D. B., and Bleck, R., 1990, A wind-driven isopycnal coordinate model of the north and equatorial Atlantic Ocean: The Atlantic-basin experiments: *J. Geophys. Res.*, **95**, 13 105-13 128.
- Wajsowicz, R. C., 1986, Free planetary waves in finite-difference numerical models: *J. Phys. Oceanogr.*, **16**, 773-789.
- the atmosphere: *Q. J. Roy. Meteorol. Soc.*, **131**, 2109-2130.
- Ghader, S., and Esfahanian, V., 2006, Generalized combined compact differencing method: *WSEAS Transactions on Fluid Mechanics*, **1**(5), 445-449.
- Ghader, S., Mohebalhojeh, A. R., and Esfahanian, V., 2009, On the spectral convergence of the supercompact finite-difference schemes for the f-plane shallow-water equations: *Mon. Wea. Rev.*, **137**, 2393-2406.
- Ghader, S., Ghasemi, A., Banazadeh, M. R., and Mansoury, D., 2012, High-order compact scheme for Boussinesq equations: Implementation and numerical boundary condition issue: *International Journal for Numerical Methods in Fluids*, **69**(3), 590-605.
- Gill, A. E., 1982, *Atmosphere-Ocean Dynamics*: Academic Press.
- Golshahy, H., Ghader, S., and Ahmadi-Givi, F., 2011, Accuracy assessment of the super compact and combined compact schemes for spatial differencing of a two-layer oceanic model: Presentation of linear inertia-gravity and Rossby waves: *Ocean Modelling*, **37**, 49-63.
- Haidvogel, D. B., and Beckmann, A., 1999, *Numerical Ocean Circulation Modeling*: Imperial College Press.
- Hirsh, R. S., 1975, Higher order accurate difference solutions of fluid mechanics problems by a compact differencing technique: *Journal of Computational Physics*, **19**, 90-109.
- Lele, S. k., 1992, Compact finite difference schemes with spectral-like resolution: *Journal of Computational Physics*, **103**, 16-42.
- Lin, S. J., and Rood, R. B., 1997, An explicit flux-form semi-Lagrangian shallow-water model on the sphere: *Q. J. Roy. Meteorol. Soc.*, **123** (544), 2477-2498.
- Liu, Y. D., 2005, Computational properties of a new horizontal staggered grid: *Science in*